

新奇加速器技術を用いた 将来の加速器への夢

2016/9/7

Mitsuhiro Yoshida

High energy accelerator organization (KEK)

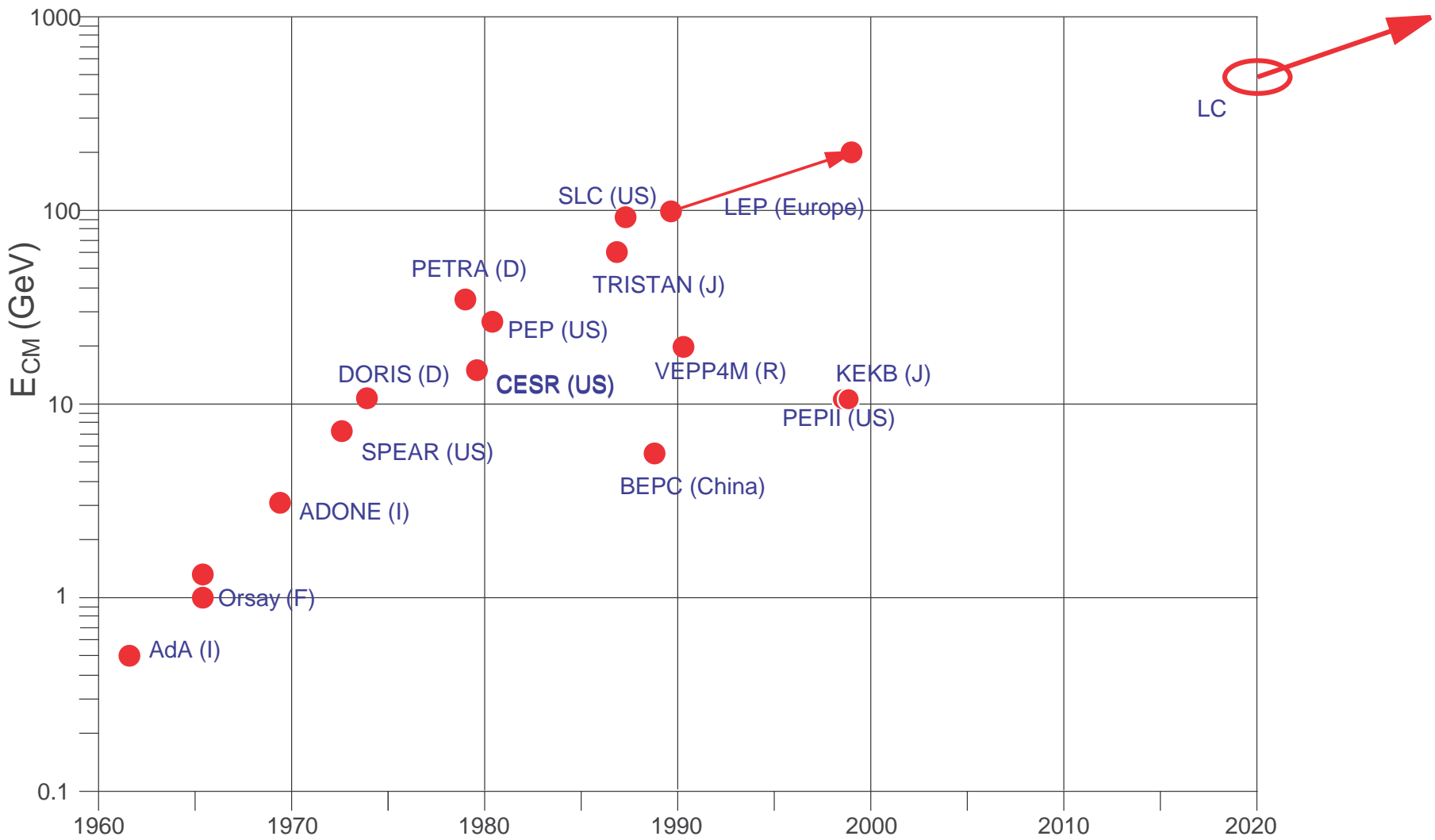
Alternative for Energy Frontier

- 電子
 - 円形加速器 : 輻射で限界?
 - いやまだ限界でない → 100 km の FCC
 - シンクロトロン放射のエネルギー回収 → ERR
 - リニアコライダー : 高電界 $L = V/E$ と効率
 - Nb超伝導(2K運転, < 40MV/m) → 高温超伝導 薄膜超伝導
 - 誘電体 : 誘電体フォトニック DLA(Laser, THz)
 - 周波数重畠
 - プラズマ加速
 - レーザープラズマアフターバーナー
 - 陽子ビームプラズマ ← J-PARC の Energy Frontier への転用の可能性
- 陽子 : 輻射が無い
 - 強磁場 $p(\text{GeV}/c)=0.3$ $B(\text{T})$ $\rho(\text{m})$ LHC $7\text{TeV}=0.3 \times 8.4\text{T} \times 2804\text{m} \rightarrow \text{HE-LHC}$
 - スーパーフェリック
 - Crystal Accelerator
- ミュオン : 輻射が無いが冷却が問題
 - MICE(FERMI)
 - Ultra Slow Muon : μ^+ のみ → $\mu^+ e^-$ collider
 - 45 GeV e⁺

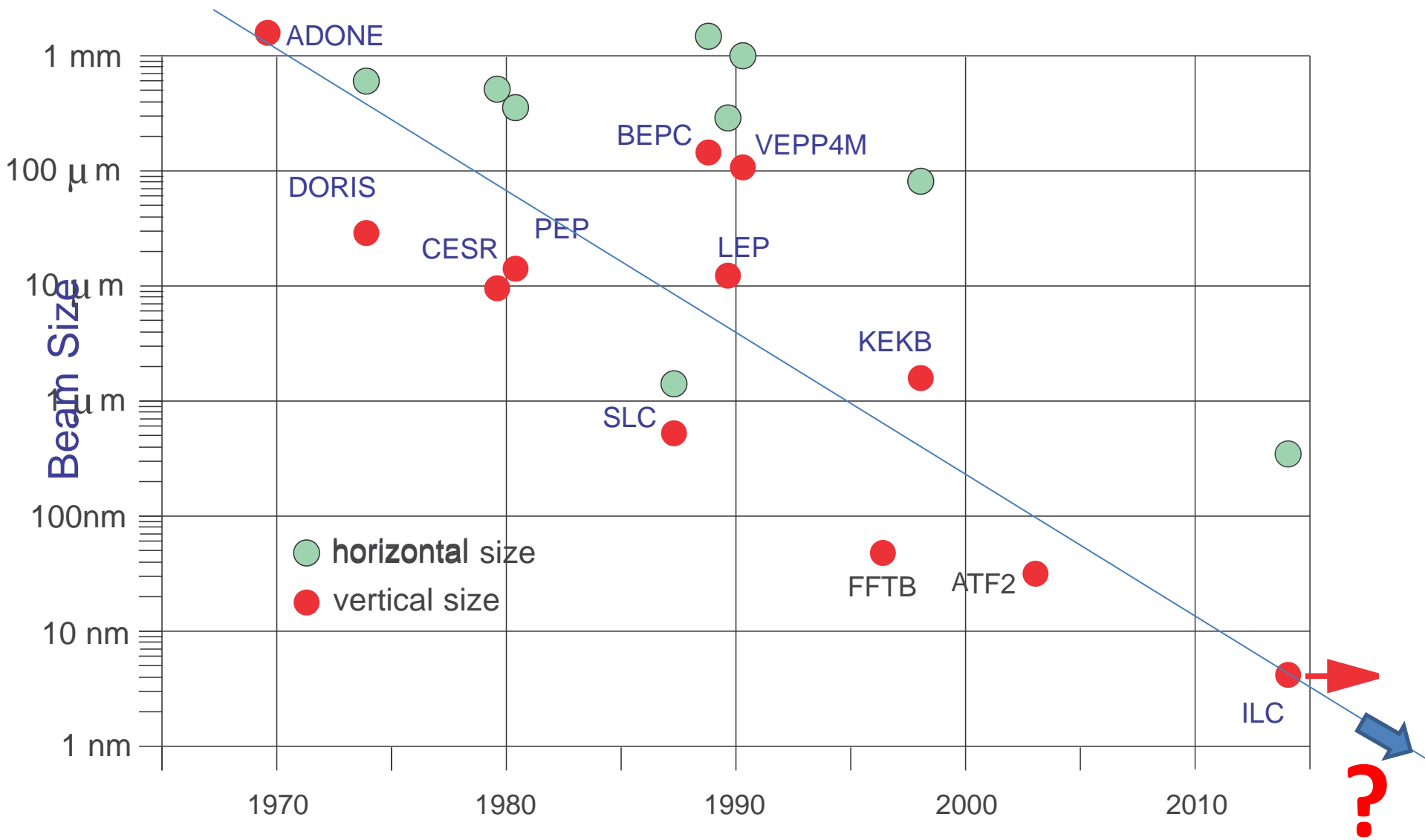
Alternative for High Intensity

- 電子陽電子コライダー
 - ビーム寿命 → エミッタスコンバーター
 - 電力消費 → ERR
- 陽子 / イオン 大強度加速器
 - パルス磁場 → FFAG
 - インダクション → 超高速半導体スイッチ
 - Photoconductive Semiconductor Switch (PCSS)
 - Semiconductor Opening Switch (SOS)
- イオン蓄積リング
 - Relic Neutrino との衝突 : 低閾値 β 崩壊核
 - EC ビーム
 - 励起イオン

e⁺e⁻ Colliderの歴史



Beam Sizeの歴史



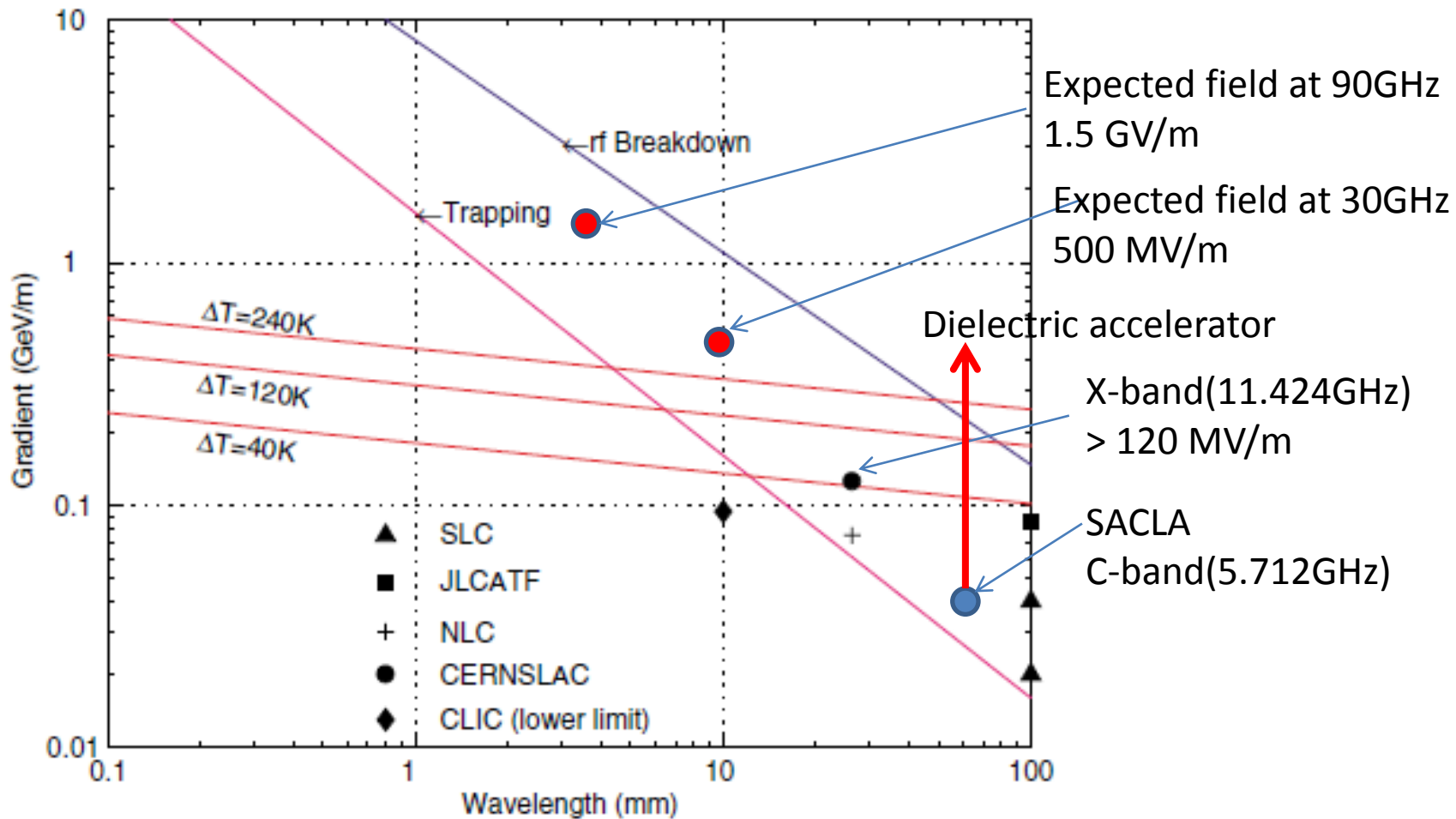
ムーアの法則に沿うには 何が見込みがあるか？

- 大型化 = 金 / 製造コスト
 - 金が指数的に増えるわけがないので
(バブル世代の人の問題)
 - 穴堀 + 磁石、高周波加速等のコストダウン
 - スーパーフェリック
 - 超伝導はコスト的に？？？
- 磁場 → VLHC
- 電場 + ビームサイズ → リニアコライダー
- 回収効率 → ERL / ERR

Microwave accelerator

Limit of metal wall microwave accelerator

$$E_{s, \text{ max}} \approx 195 \text{ MV/m} [\nu(\text{GHz})]^{1/2}.$$

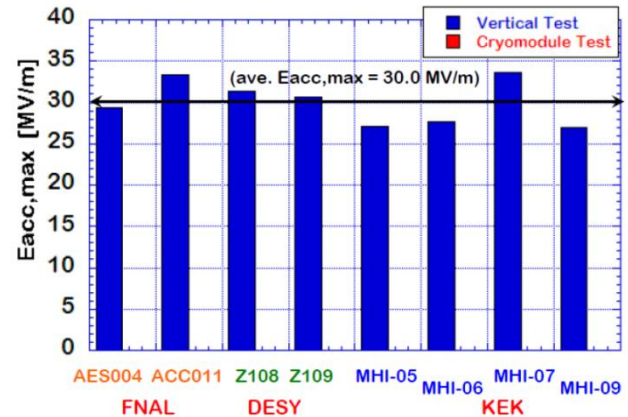


Current limit of microwave accelerator

- RF source
 - X-band (11.424GHz) LC Klystron
Failure of 100MW klystron development
+ RFvPulse compressor
 - CLIC Drive beam



- Quench ILC(Superconductor)



→ High T_c material : NbN, MgB₂ etc.,

加速器の電界を大幅に上げるには

- 耐圧の高い媒質

× 金属

◎ プラズマ

○ 誘電体

$$W(\text{蓄積エネルギー}) = \int \frac{\epsilon E^2 + \mu H^2}{2} dV$$

$$E = \sqrt{\frac{2W}{\epsilon V}} \sim f \sqrt{W}$$

E : 電界、H : 磁界
V : 体積
f : 周波数

- 体積を小さくする or 蓄積エネルギーを上げる



周波数の高い加速器 : THz

- 従来のGHz帯加速方式

→ 20GHz以上の高周波源が無い

- 100 fs 程度の超短パルスと

プラズマ or 誘電体による変換

- ・ レーザー駆動

- ・ 電子ビーム駆動

- ・ 陽子ビーム駆動



Q値の高い材料

- 常伝導Cu : Q ~ 10,000

- 超伝導Nb : Q ~ 10¹⁰ しかし電界 < 40MV/m

- 誘電体 : Q ~ 10⁶

私の最近の研究テーマ

レーザー高強度化は著しく速い

SLAC/KEK等で可能 & 世界最高電圧の実績

CERN/J-PARC等で可能 → バンチ圧縮が問題

Cryogenic cavity :

Quality factor

$$Q_0 = \frac{\text{Stored energy}}{\text{Power loss per 1 RF cycle}}$$

$$Q_0 \propto \frac{1}{\sqrt{\rho}}$$

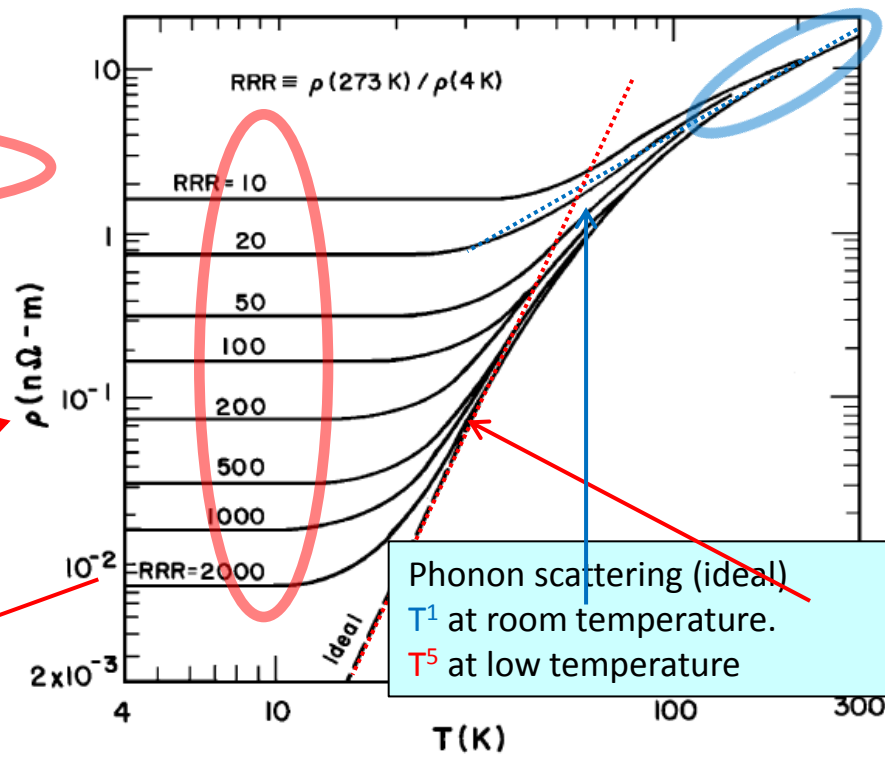
RRR=2000 at 10 K

Electric resistivity goes down to $1/1000$



Q_0 factor expected up to $30 ???$ but

Copper resistivity

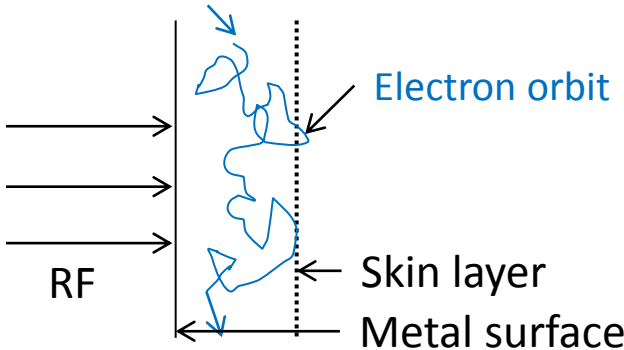


Resistivity vs Temperature

$$RRR \equiv \frac{R(T = 300K)}{R(T = 4.2K)} \text{ residual resistivity ratio : RRR}$$

Cryogenic cavity / Anomalous skin effect

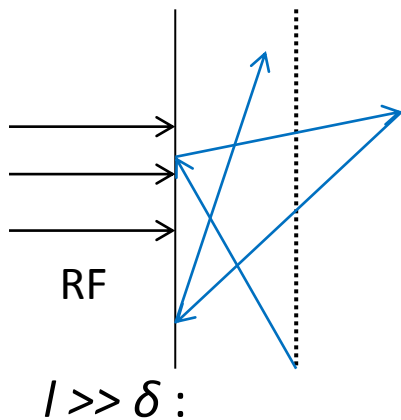
Room temperature : ($l \ll \delta$)



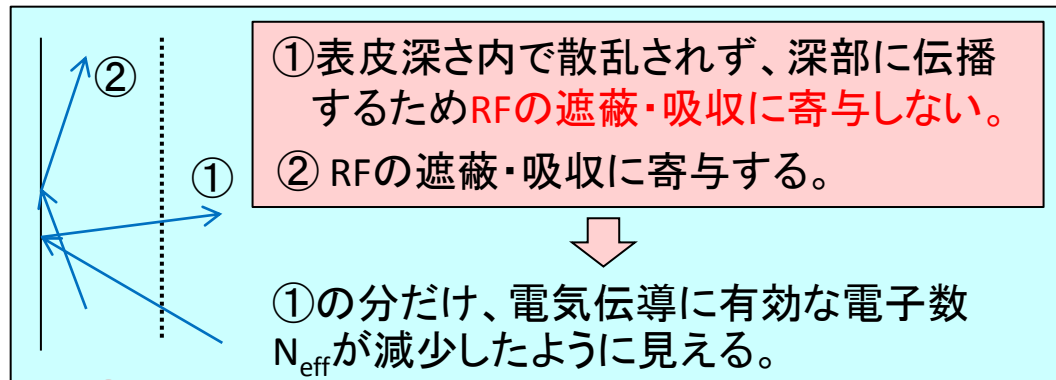
外部電場の1周期の周期運動の間に表皮深さ内で複数回、伝導電子の散乱が起こる。

$l \ll \delta$: *classical skin effect* is dominant

Low temperature : ($l \gg \delta$)



$l \gg \delta$:
Anomalous skin effect



①の分だけ、電気伝導に有効な電子数 N_{eff} が減少したように見える。

$$N_{eff} = \gamma N \frac{\delta_{eff}}{l}, \quad \sigma_{eff} = \gamma \sigma_{dc} \frac{\delta_{eff}}{l}$$

$$\delta_{eff} = \sqrt{\frac{2}{\omega \mu \sigma_{eff}}}$$

$\gamma = 1$: diffusion reflection

$\gamma = 8/9$: specular reflection

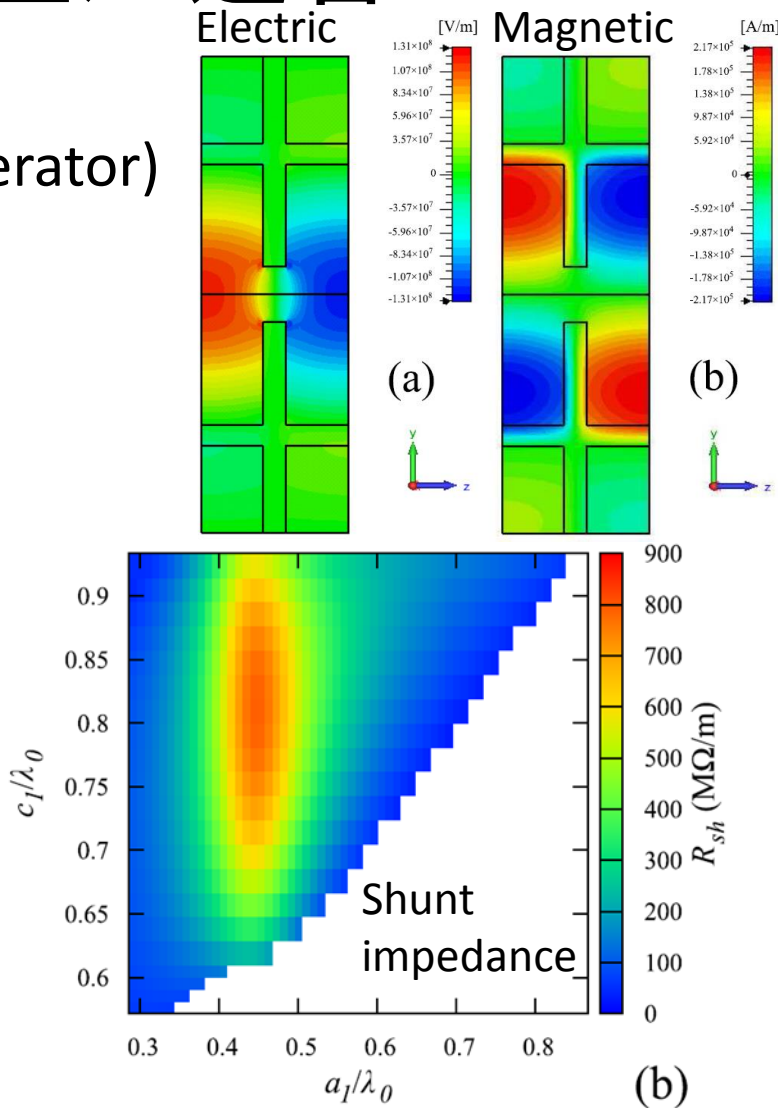
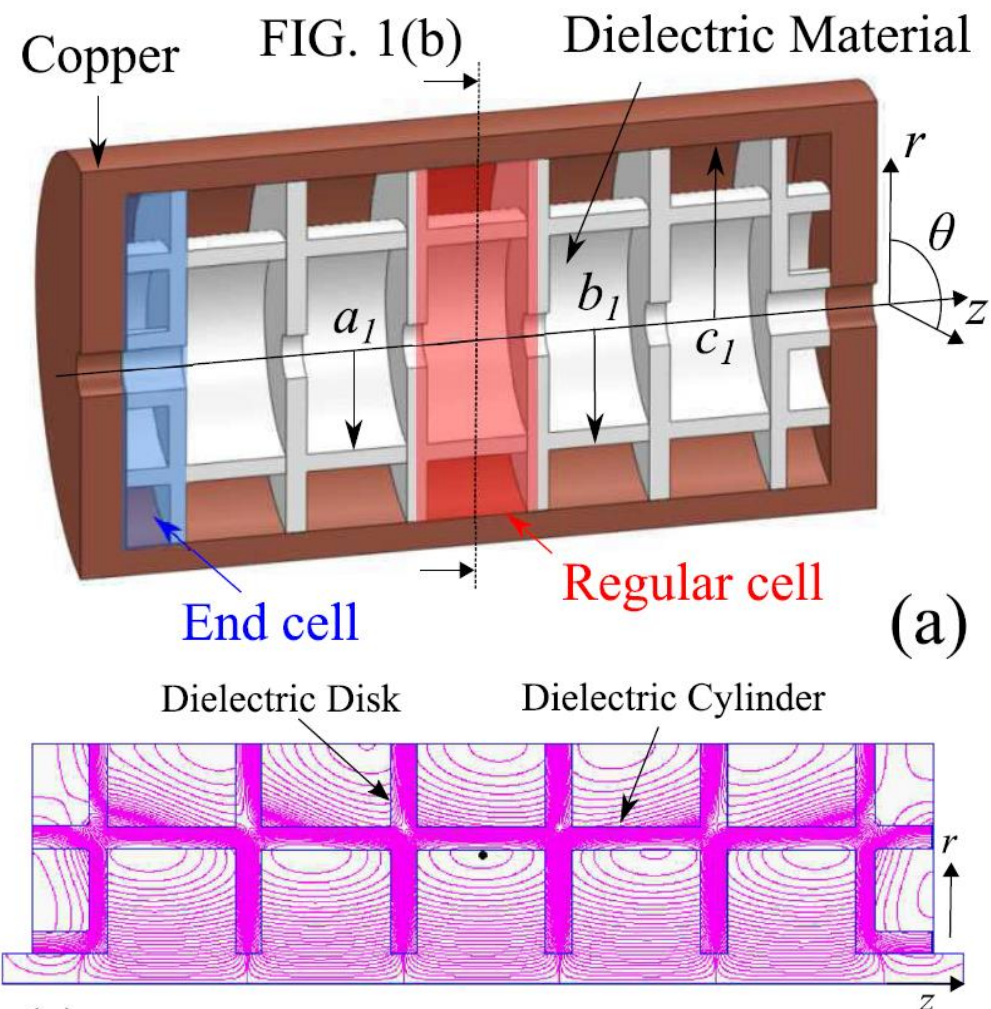
$$\frac{\delta_{eff}}{l} \ll 1$$

$$R_{anomalous} = \frac{1}{\delta_{eff} \sigma_{eff}} = \sqrt{\frac{\omega \mu}{2 \sigma_{eff}}}$$

有効電気伝導率が減少するため、表面抵抗は増加する。

誘電体アシスト型加速管

- $1 \text{ G}\Omega/\text{m}$ of Shunt Impedance
($80\text{M}\Omega/\text{m}$ for normal conductor accelerator)



“Dielectric assist accelerating structure”
Phys. Rev. Accel. Beams 19, 011302
Published 25 January 2016.

誘電体アシスト型加速管

特徴：

- 1m 辺り 5 MW で 100 MV/m が達成可能
- ロングパルス $\sim 100\mu\text{s}$ (\Leftrightarrow 常伝導 数100ns)
- パルスコンプレッサー不要 \Rightarrow 高システム効率

開発の現状

- 高電界試験中
- 科研費 若手A → 基盤A
- 三菱重工との共同研究締結
- 国内特許出願済、国際特許申請準備中

Energy recovery

Energy Recovery Ring (ERR)

$$P = \frac{2}{3} \frac{e^2 c}{4\pi\epsilon_0} \frac{\beta^4 \gamma^4}{\rho^2} = \frac{2}{3} \frac{e^2 r_e}{m_e^3} E^2 B^2, \quad r_e = 2.82 \times 10^{-15}, \quad m_e = 0.511 MeV$$

$$p = eB\rho, \quad E = cp$$

$$T_0 = \frac{2\pi\rho}{c}$$

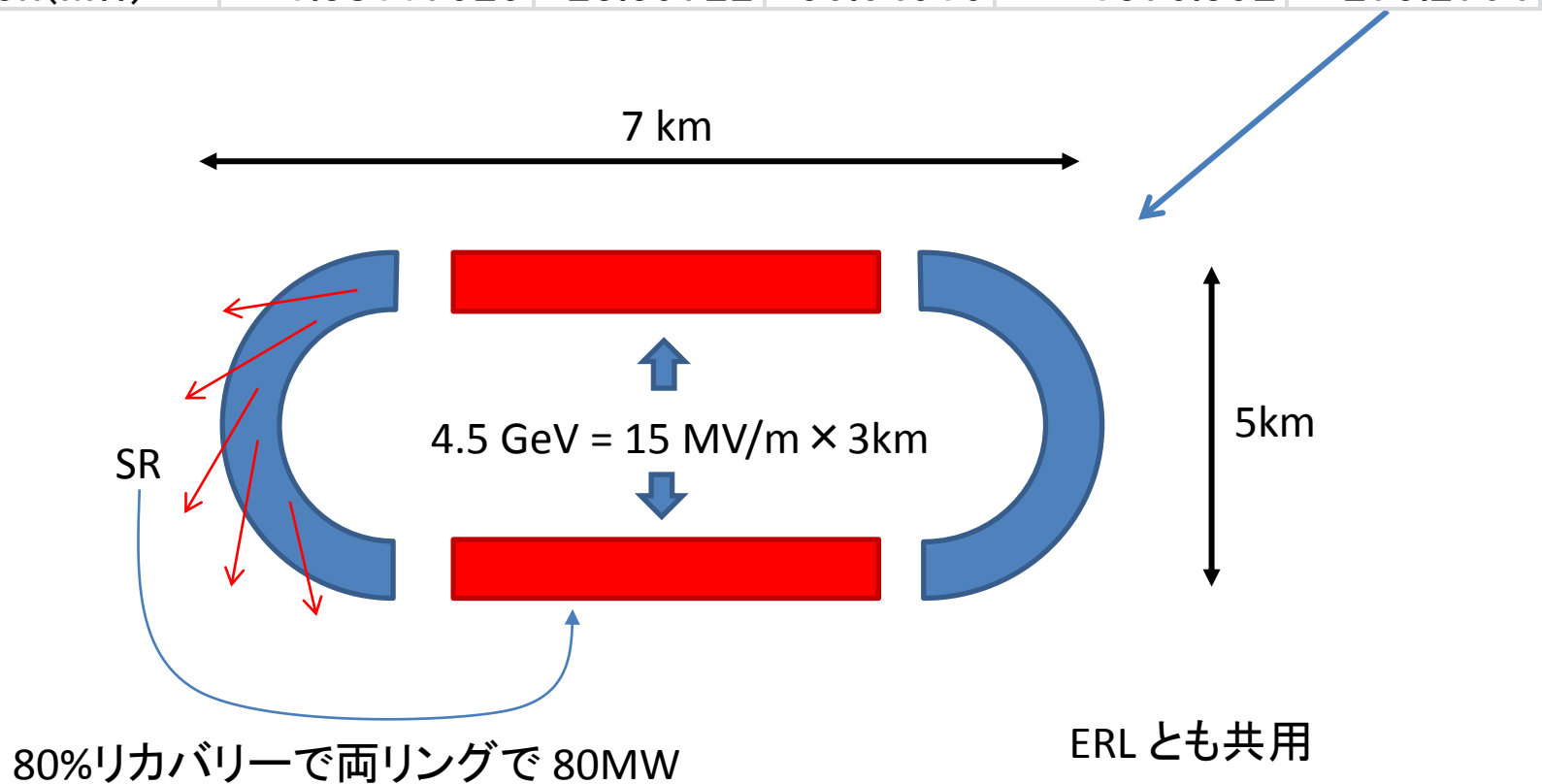
$$W_{1turn} = PT_0 = \frac{2}{3} \frac{e^2 r_e}{m_e^3} E^2 \frac{E^2}{e^2 c^2 \rho^2} \frac{2\pi\rho}{c} = \frac{4\pi}{3} \frac{r_e}{(m_e c)^3} \frac{E^4}{\rho}$$

$$W_{1turn}[eV] = 8.85 \times 10^4 \frac{E^4 [GeV]}{\rho[m]} = 2.65 \times 10^4 E^3 [GeV] B[T]$$

$$P_{total} = \frac{W_{1turn} N_e}{T_0} = W_{1turn}[eV] I_{beam}$$

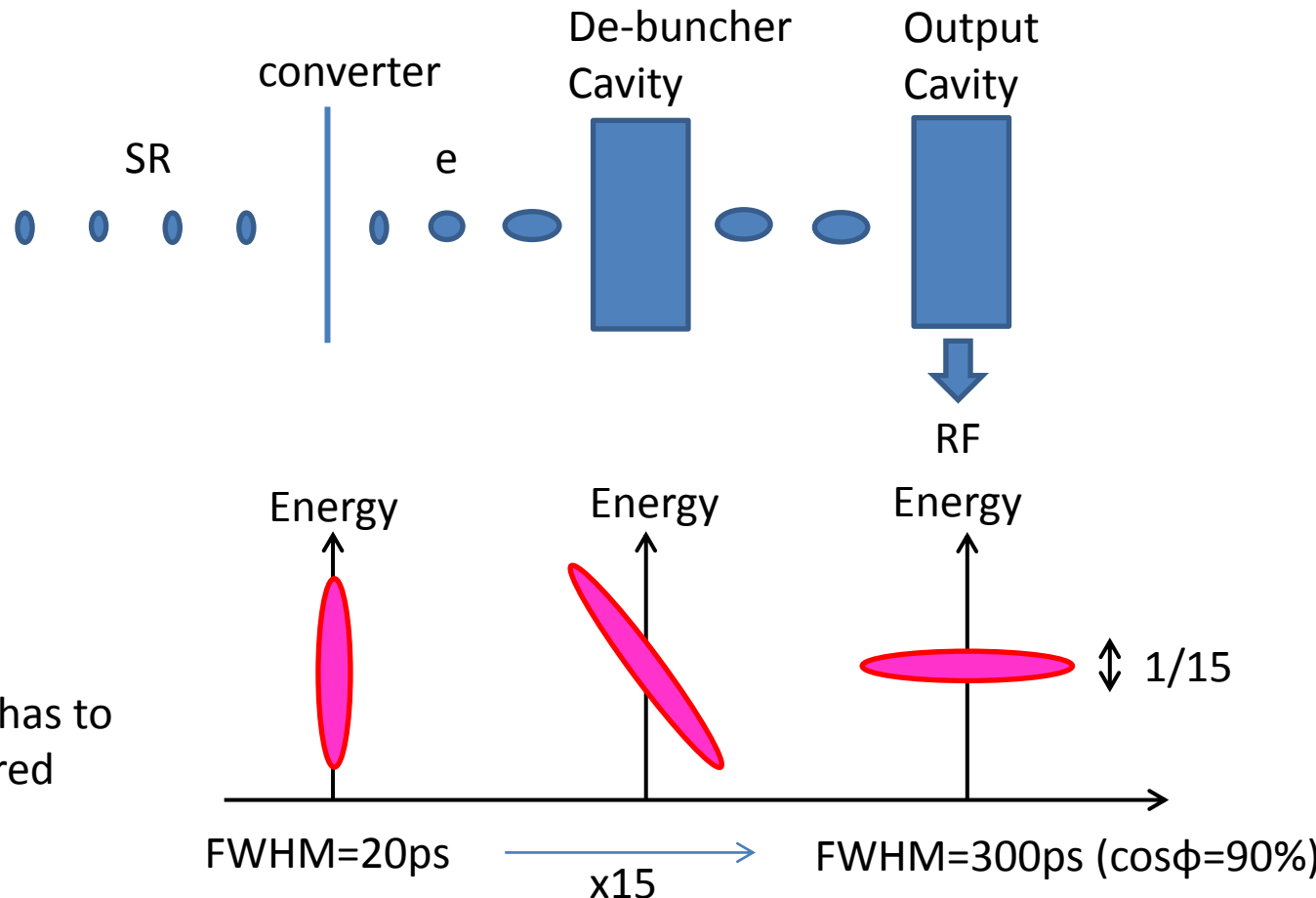
Energy Recovery Ring (ERR)

	SuperKEKB	LEPII	FCC	KEKB-Higgs	ERL-Higgs
Energy(GeV)	7	100	120	120	120
Circumference(km)	3	27	100	3	15
Bending Radius(km)	0.4	3.026	11	0.4	2
Ibeam(A)	2.6	0.008	0.03	0.03	0.03
W1turn(MeV)	0.53122125	2924.653	1668.305	45878.4	9175.68
Psynchrotron(MW)	1.38117525	23.39722	50.04916	1376.352	275.2704



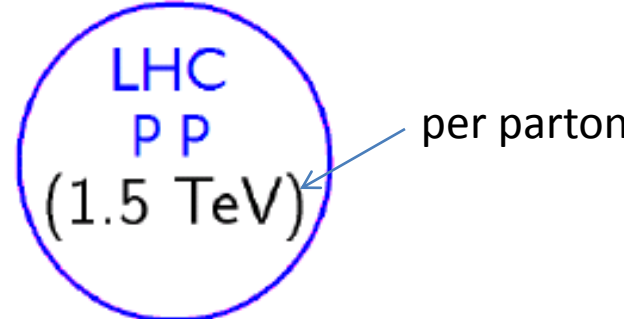
SR → RF recovery

- Klystron : DC → RF の効率で 50%
- Lasertron : Buncher e- → DC 加速 → RF
- SR → Bunched e- 1keV → RF



Muon collider

Size Comparison



ILC e^+e^- (.5 TeV)

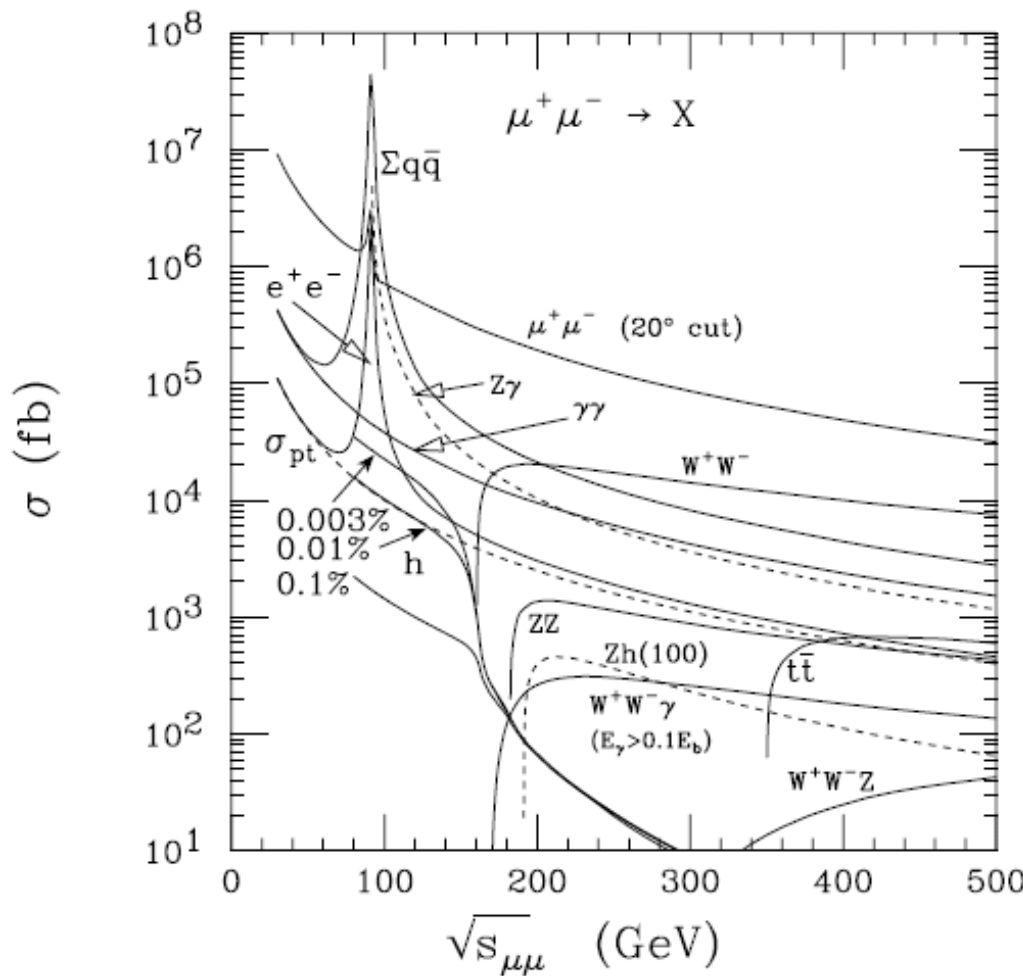
CLIC e^+e^- (3TeV)



10 km

- 1/10 of pp collider size
- Much smaller than ILC
- 2 TeV in KEKB ring (8.3T magnet same as LHC)
 $p = (0.3GeV/c) \rho (= 400m) B (= 8.3T) = 1TeV/c$

Higgs Cross Section



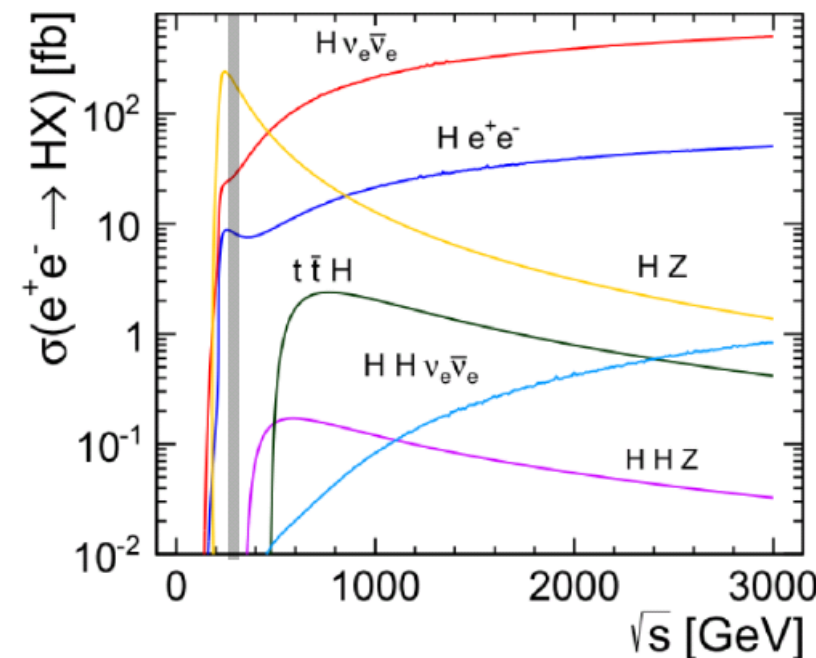
$\Delta E_{beam} / E_{beam}$	$\sigma_{eff}(\mu^+\mu^- \rightarrow H, M_H = 126 \text{ GeV})$
0	35.3 pb
.01%	10.1 pb
0.1%	1.0 pb
0.4%	250 fb

$$\frac{\Gamma(h \rightarrow \mu\bar{\mu})}{\Gamma(h \rightarrow e\bar{e})} \sim \frac{M_\mu^2}{M_e^2} = 50,000$$

$$\sigma_h(\sqrt{s}) = \frac{4\pi\Gamma(h \rightarrow \mu\bar{\mu})\Gamma(h \rightarrow X)}{(s - m_h^2)^2 + m_h^2(\Gamma_{tot}^t)^2}$$

$$= 35.3 \text{ pb} @ M_H = 126 \text{ GeV}$$

$$\sigma(e^+e^- \rightarrow ZH) \sim 200 \text{ fb}$$



Parameter (including Higgs Factory)

CoM energy (TeV)	3	0.4		0.1	
p energy (GeV)	16	16		16	
p 's/bunch	2.5×10^{13}	2.5×10^{13}		5×10^{13}	
Bunches/fill	4	4		2	
Repetition rate (Hz)	15	15		15	
p power (MW)	4	4		4	
μ /bunch	2×10^{12}	2×10^{12}		4×10^{12}	
μ power (MW)	28	4		1	
Wall power (MW)	204	120		81	
Collider circumference (m)	6000	1000		350	
Average bending field (T)	5.2	4.7		3	
rms $\Delta p / p\%$	0.16	0.14	0.12	0.01	0.003
6D $\epsilon_{6,N} (\pi m)^3$	1.7×10^{-10}				
rms $\epsilon_n (\pi \text{ mm mrad})$	50	50	85	195	290
β^* (cm)	0.3	2.6	4.1	9.4	14.1
σ_z (cm)	0.3	2.6	4.1	9.4	14.1
σ_r spot (μm)	3.2	26	86	196	294
σ_θ IP (mrad)	1.1	1.0	2.1	2.1	2.1
Tune shift	0.044	0.044	0.051	0.022	0.015
n_{turns} (effective)	785	700	450	450	450
Luminosity $\text{cm}^{-2} \text{s}^{-1}$	7×10^{34}	10^{33}	1.2×10^{32}	2.2×10^{31}	10^{31}
Higgs/year			1.9×10^3	4×10^3	3.9×10^3

$$L \sim \frac{n_b N_\mu^2}{\varepsilon_\perp \beta^*} h\left(\frac{\sigma_z}{\beta^*}\right) \sim \frac{n_b N_\mu \xi}{\beta^*} h\left(\frac{\sigma_z}{\beta^*}\right)$$

$$\xi = \frac{r_\mu N_\mu}{4\pi \varepsilon_{\perp N}}$$

$\sigma(\mu\mu \rightarrow H) = 5 \times 10^4 \text{ fb}$

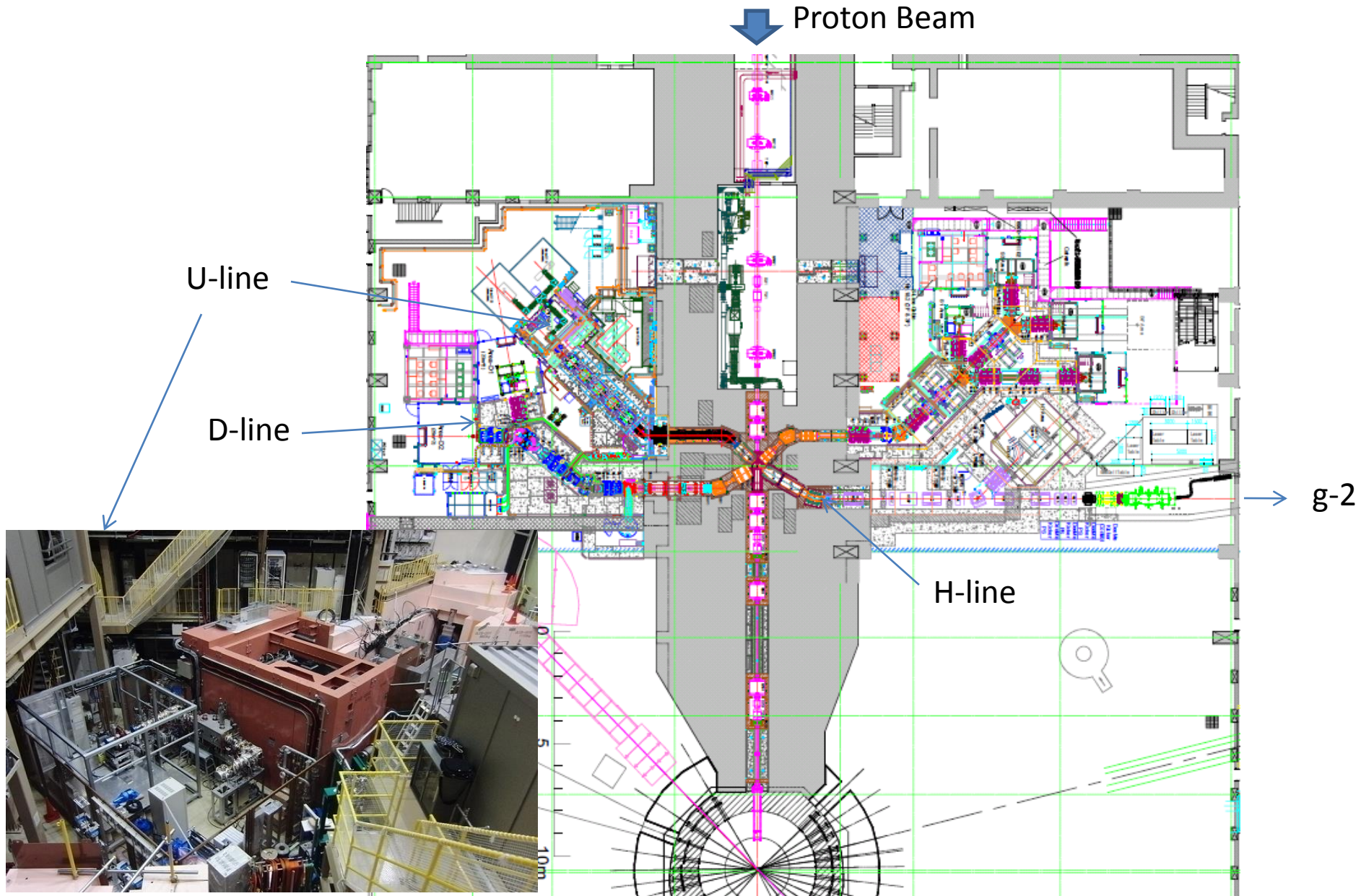


Other muon generation method

- Decay π \rightarrow 6D Cooling
- Surface μ \rightarrow Ultra Cold
- J/ Ψ
- $e^+e^- (\gamma)$ \rightarrow Pair Production

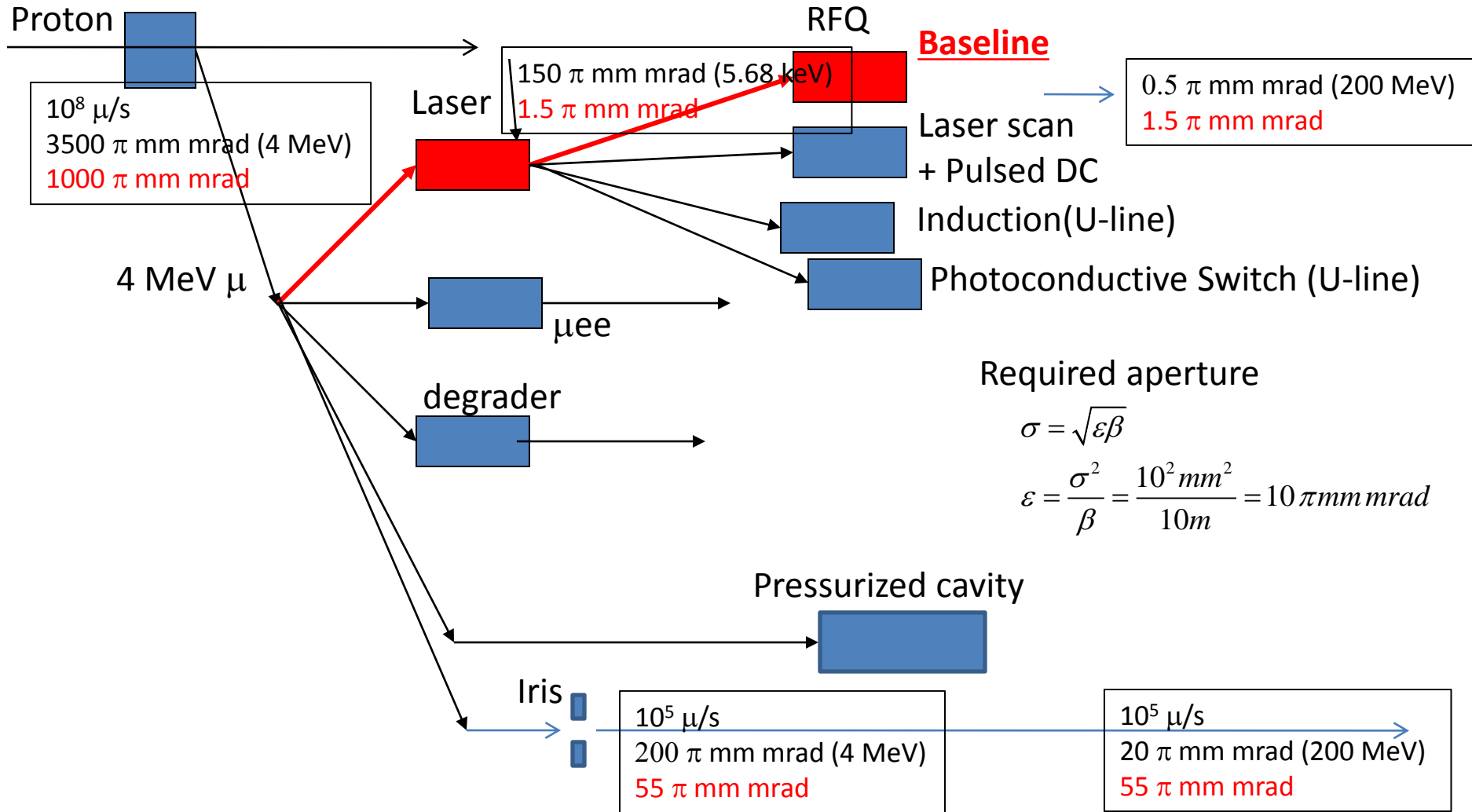
Ultra Cold Muon

J-PARC / MLF / Ultra Slow Muon



Considerable Scenario / Surface μ

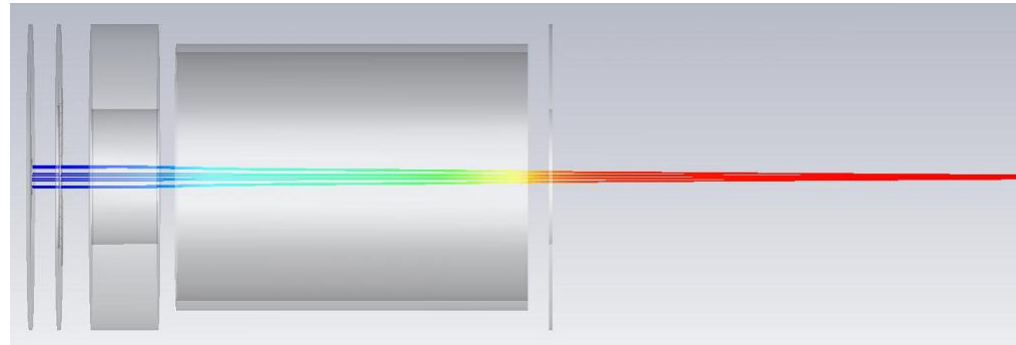
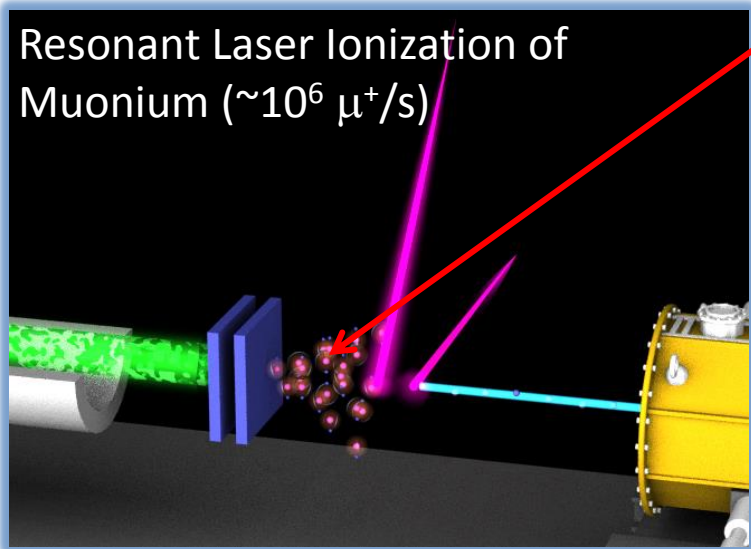
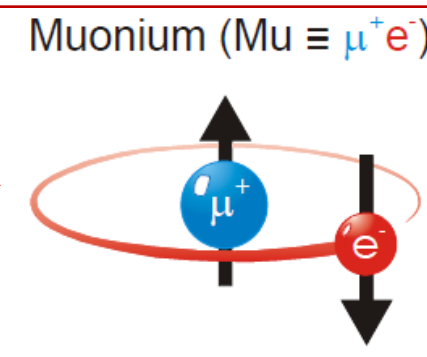
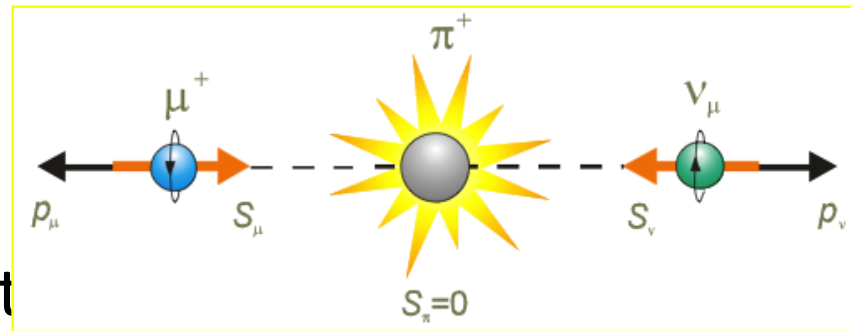
- Number of μ
- Emittance
- Normalized emittance



$\beta\gamma =$	5.7keV	30keV	340 keV	4 MeV	200 MeV
	0.01	0.024	0.08	0.278	2.71

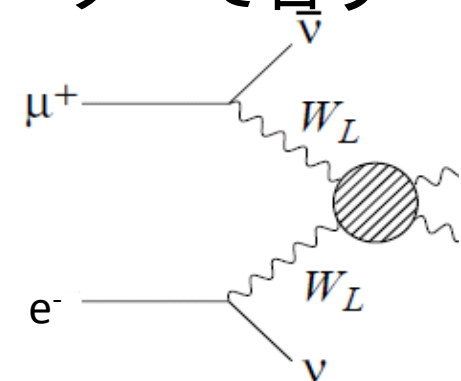
Ultra Slow Muon

- Surface μ
 - Spin Polarized
 - $p_\mu = 29.8 \text{ MeV}/c$ (4MeV) Ult
- Ultra Slow Muon
 - Laser (122nm) Excitation



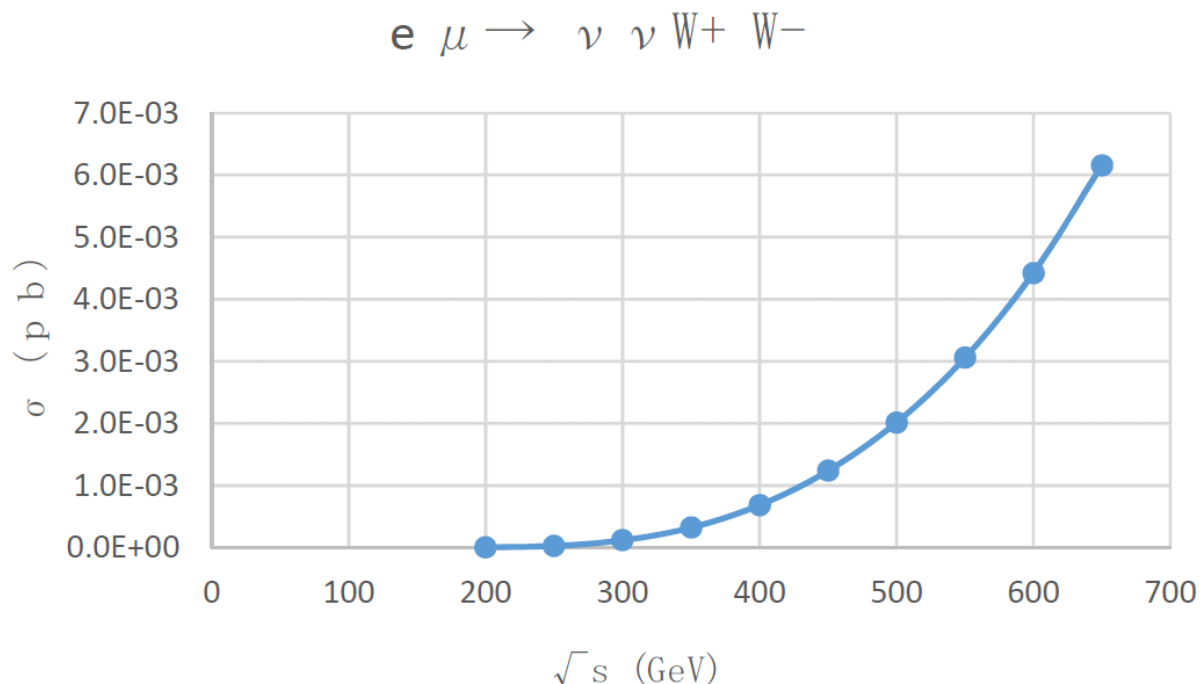
非対称 μ^+e^- Collider

- メリット / デメリット
 - Ultra Cold μ^+ 1TeV で e^- の emittance とオーダーで合う
 - τ_μ が伸びる
 - e^- 側で数が稼げる
 - × T-channel (W/Z-fusion)
- KEKB(TRISTAN) Ring : ECM ~ 300 GeV
 - 1 TeV (μ^+) : $\gamma = 10,000$ ($\tau \sim 20$ ms), $\rho = 400$ m, 8.3T(LHCと同じ)
 - 20 GeV (e^-) : $\gamma = 40,000$
- Emittance
 - 5 nm / 150pm (μ^+) $\times \beta = 3.2 / 0.3$ mm $\rightarrow \sigma = 4 / 0.2$ μm
 - 1 nm / 4 pm (e^-)
- Luminosity $L = \frac{N_+ N_-}{4\pi\sigma_x\sigma_y} f_{rep} = 10^{31} \text{cm}^{-2}\text{s}^{-1}$ @ 1MHz(10bunch), $10^8 \mu^+, 10^{10} e^-$



μe Cross Section

- T-channel の ee よりかなり小さい？



Muon Pair Creation

$$e^+ + e^- \rightarrow \mu^+ + \mu^-$$

$$2m_e + T_1 + T_2 = 2m_\mu + T_3 + T_4 \quad \beta_{IP} = 10mm(h) / 0.1mm(v) \text{ (ATFのFinal Focusを仮定)}$$

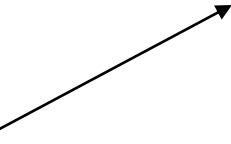
$$p_1 + p_2 = p_3 + p_4 \sim 600 \text{ MeV/c} \quad \text{Positron DR(1.1GeV):}$$

$$T_{CM} \sim 2\sqrt{T_1 T_2} = 2m_\mu \quad \varepsilon_{x,y} = 42.5nm(h) / 3.15nm(v), \quad \sigma_{x,y} = 20\mu m(h) / 0.5nm(v)$$

$$T_2 = 18.7 \text{ MeV} \quad \text{KEKATF (1.54GeV):}$$

$$\varepsilon_{x,y} = 1nm(h) / 0.01nm(v), \quad \sigma_{x,y} = 3.4\mu m(h) / 37nm(v)$$

Cross section:

$$\begin{aligned} \sigma &= \frac{e^4 \sqrt{|k|^2 - m^2} (2|k|^2 + m^2)}{96\pi |k|^5} \\ &= (\hbar c)^2 \frac{4\pi\alpha^2}{3s} = 8 \text{ } \mu b \end{aligned}$$


$$\alpha = \frac{e^2}{4\pi\epsilon_0\hbar c}, \quad (\hbar c)^2 \approx 0.4 \text{ GeV}^2 mb$$

$$L = \frac{N_+ N_-}{4\pi\sigma_x\sigma_y} f_{rep}$$

$$N_\mu = \sigma L = 6.3 \text{ 個}$$

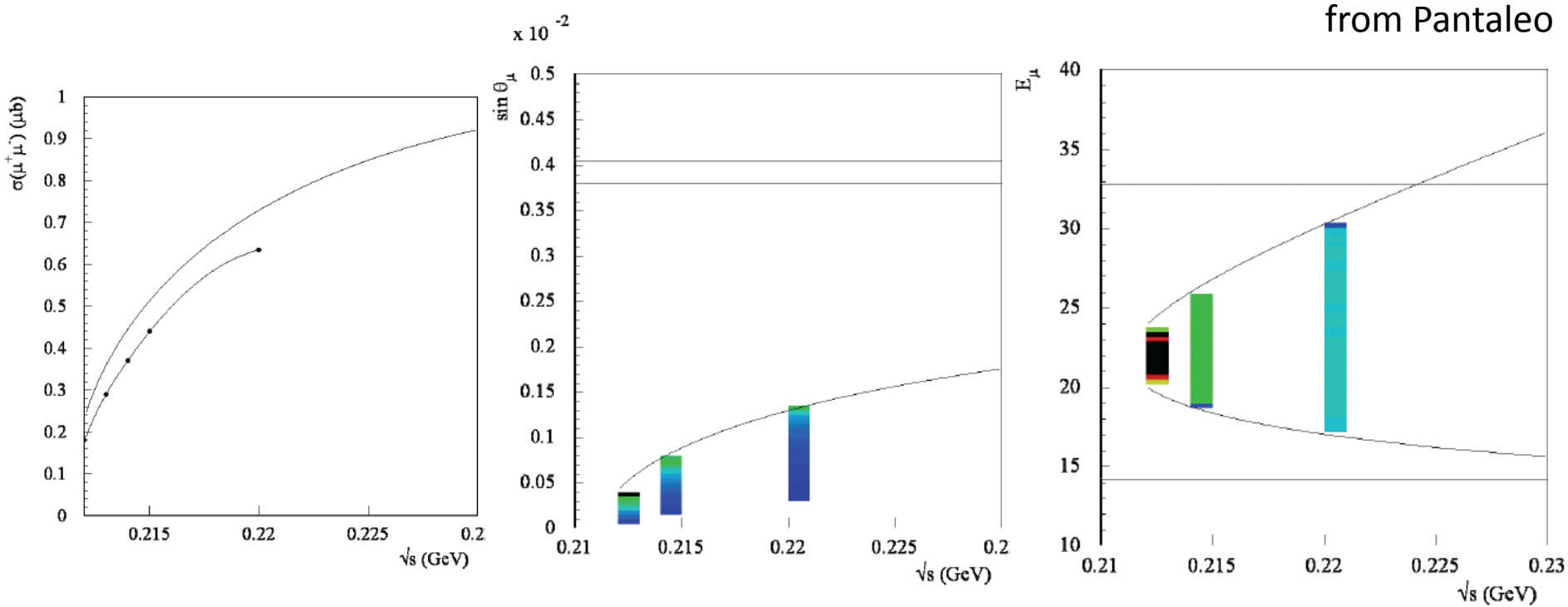
(低エネルギー—Electronは絞れない)

$$f_{rep} = 1, \quad N_\mu = 10000$$

$$\sigma_{x,y} = \sqrt{\frac{N_+ N_-}{4\pi L}} = \sqrt{\frac{\sigma N_+ N_-}{4\pi N_\mu}} = 2.5nm$$

45 GeV e⁺ + Plasma

45 GeV e⁺ Plasma Channel $\sim 10\text{m}$



@ 0.212 GeV

$$N_{\text{plasma}} = 10^{20} / \text{cm}^3, N_{\text{positron}} = 10^{11} / \text{bunch} \Rightarrow N(\mu) = 10^6 / \text{bunch}$$

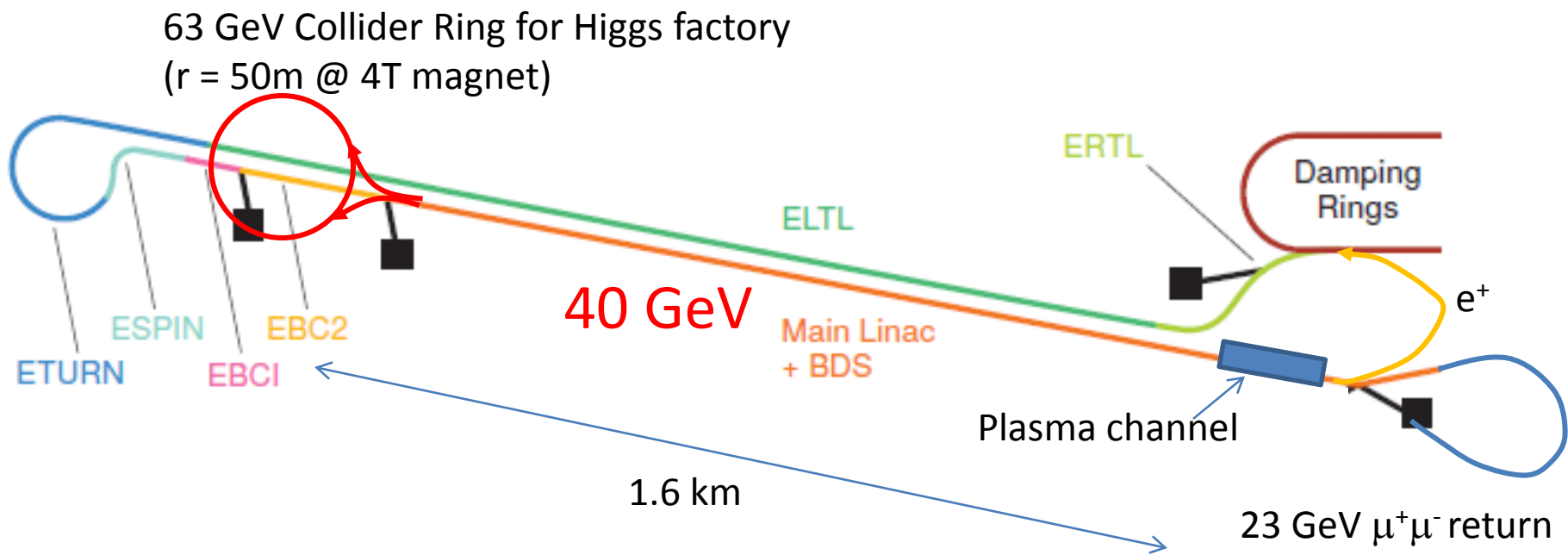
Luminosity

- 63 GeV ring : $r = 25\text{m}$ @ 8T $\Rightarrow C = 300\text{m} ? (1\mu\text{s})$
- ILCのビーム : $3.2\text{nC} (2 \times 10^{10})$
 $\times 1312 \text{ bunch } (727\mu\text{s}/554\text{ns}) \times 5\text{Hz}$
 $\Rightarrow 2 \times 10^5 \mu/\text{bunch}$
 $\Rightarrow 1.3 \times 10^8 \mu \times 2 \text{ bunch (ring)}$

$$L = \frac{N_+ N_-}{4\pi\sigma_x\sigma_y} f_{rep} h\left(\frac{\sigma_z}{\beta^*}\right) = \frac{{N_\mu}^2}{4\pi\varepsilon_\perp\beta^*} f_{rep} h\left(\frac{\sigma_z}{\beta^*}\right)$$

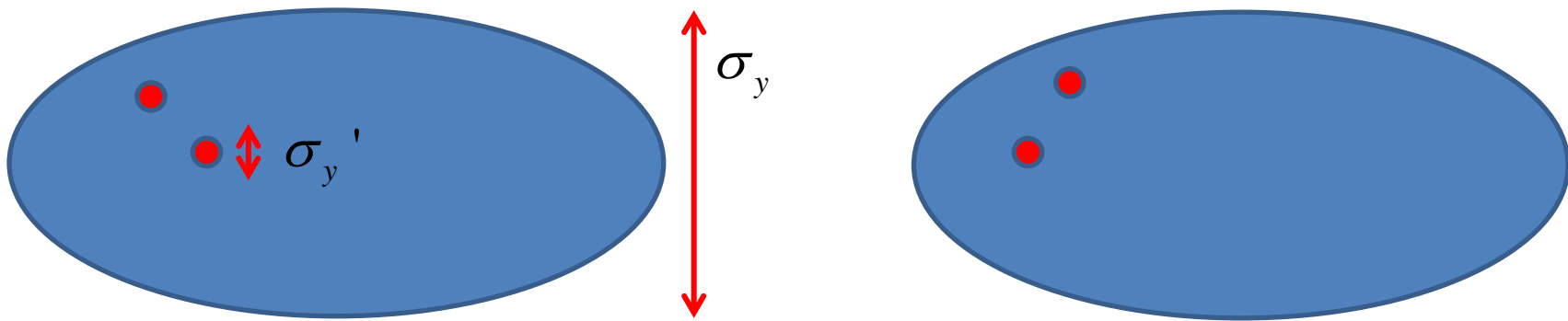
Muon collider for Higgs factory

- 45 GeV e^+ beam x Plasma(e^-) $\Rightarrow \mu^+\mu^-$ pair



対生成の場合の Luminosity

対生成なので、単一の Z/ γ から $\mu^+ \mu^-$ が生成している
⇒ 単一粒子同士の衝突を考えられる可能性



- Macro 粒子
$$L = \frac{N_+ N_-}{4\pi\sigma_x\sigma_y} f_{rep} h\left(\frac{\sigma_z}{\beta^*}\right)$$
- 単一粒子
$$L = N \frac{1}{4\pi\sigma_x\sigma_y} f_{rep}$$

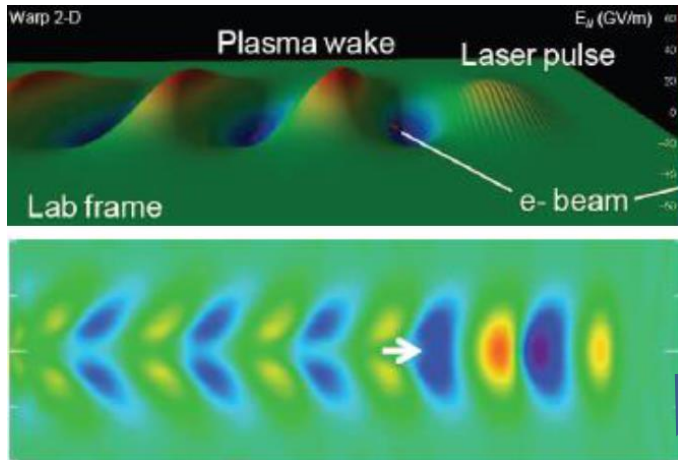
Novel Accelerator R&D

- R&D for ultra high field accelerator (1GV/m)
 - 高Q ⇔ THz
THz : レーザー、電子ビーム、非線形光学素子
 - 光伝導スイッチ

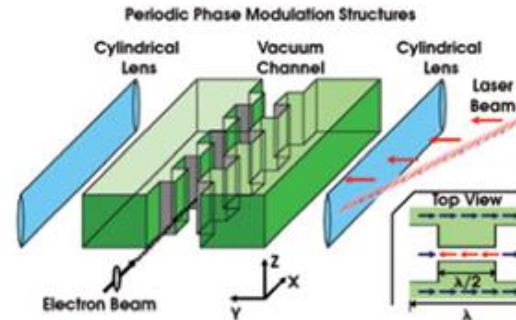
Novel accelerators

Laser driven accelerator

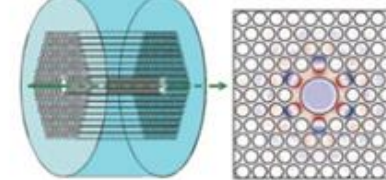
Laser Plasma Acceleration(LWFA)



Direct Laser/THz Acceleration(DLA)



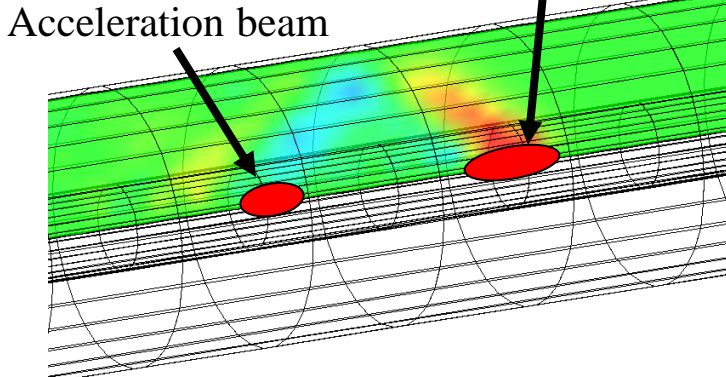
Hollow-Core PBG Fibers



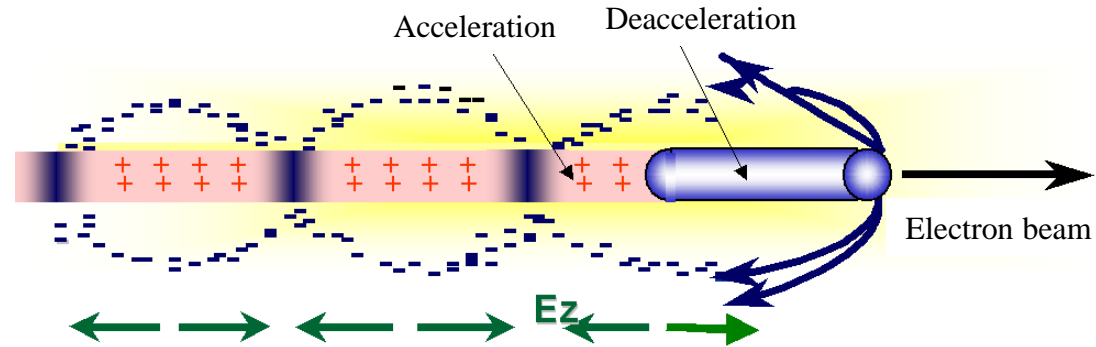
Beam driven accelerator

Dielectric wall accelerator(DWA)

Drive beam

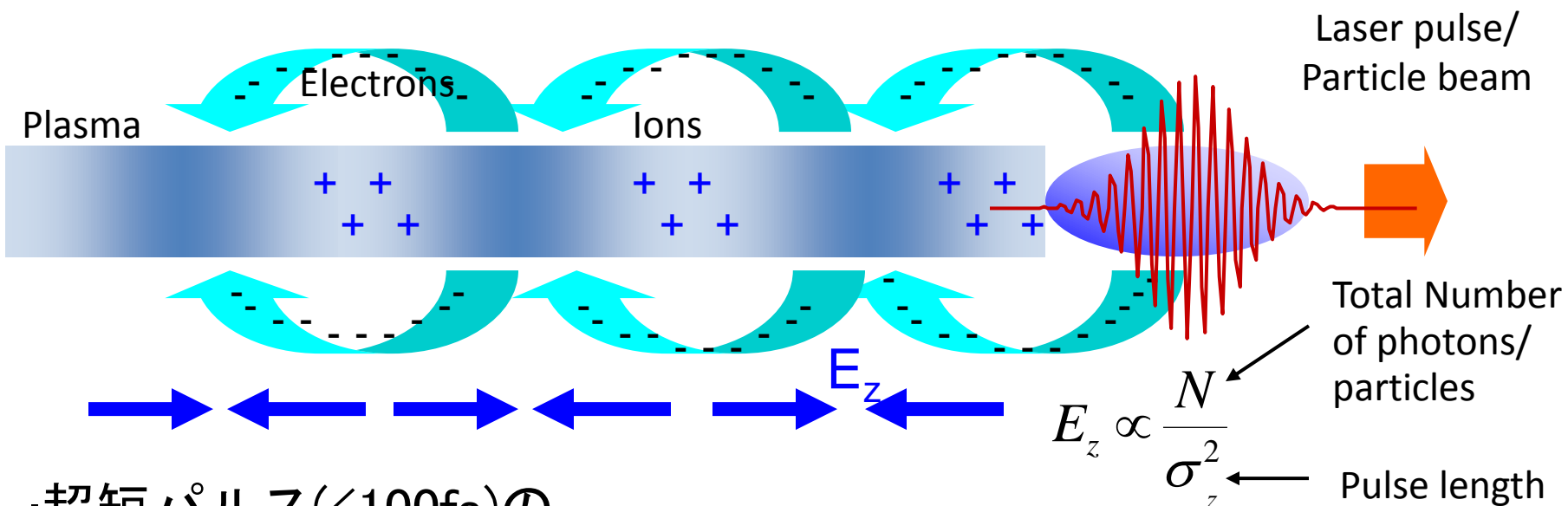


THz accelerators
Plasma wakefield acceleration (PWFA)



THzのプラズマ振動による加速

- 何故プラズマが必要か?
 - 電磁波(レーザー)は横波なので進行方向の電界が無く加速できない
 - ビームも相対論的になると後続のビームにエネルギーを渡せない
(後続のビームが駆動ビームを減速しないと変換できない)



- 超短パルス(<100fs)の
 - レーザー場のポンデロモーティブ力
 - または電子・陽子バンチのクーロン力がプラズマ電子を排除。
- プラズマイオンの復元力で電子を引き戻す。
- プラズマ振動が起こる → このプラズマ振動の周波数が THz

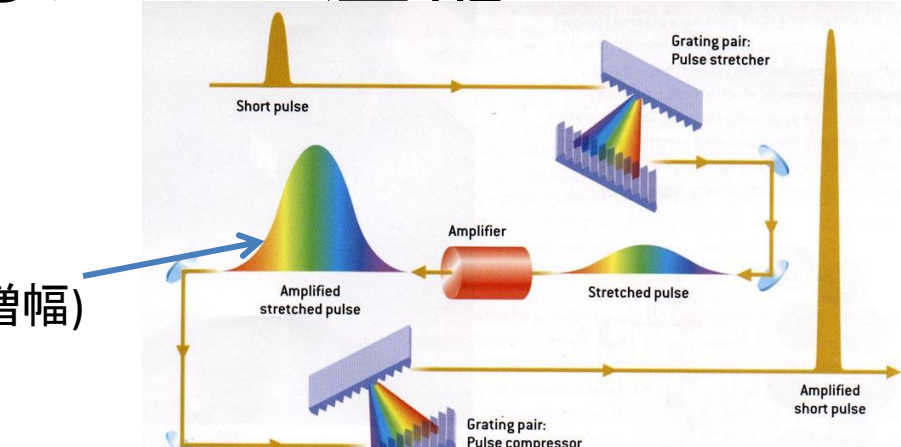
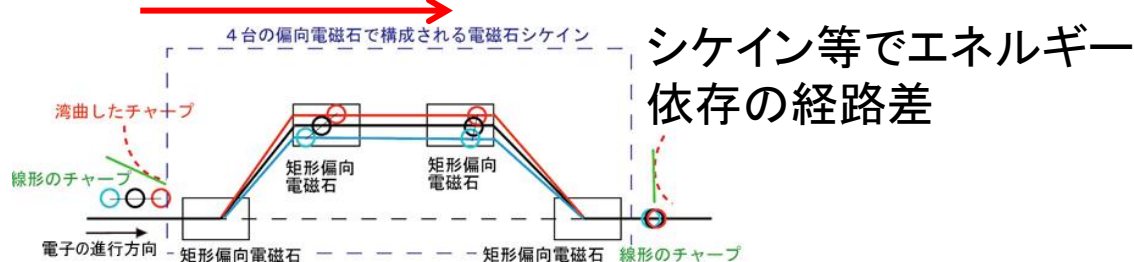
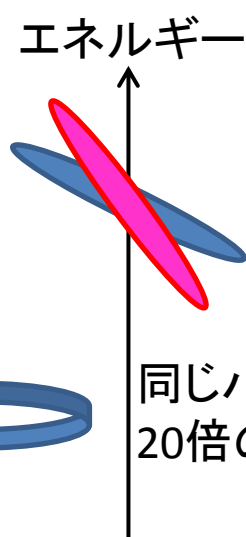
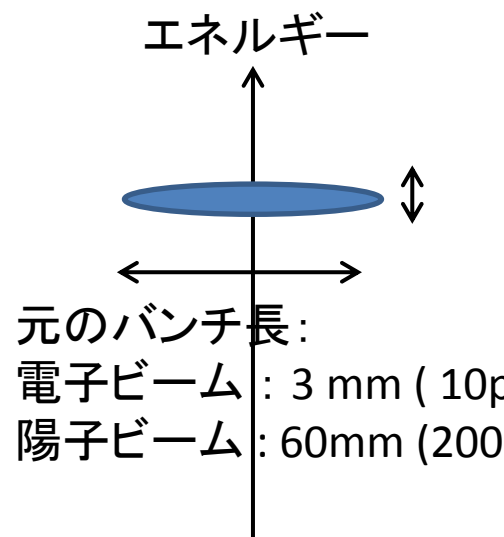
エネルギー源と電界

	常伝導	超伝導	電子ビーム 駆動	レーザー 駆動	陽子ビーム駆動
	6/12GHz	1.3GHz	5THz (50fs)	5THz (50fs)	? THz (後述)
駆動 エネルギー	20J [/m] = 40MW × 500ns	200J [/m] = 300kW × 700μs	70J (SLAC) = 23GeV × 3nC 35J (KEK) = 7GeV × 5nC	40J (\rightarrow 1kJ)	15kJ (SPS) = 450GeV × 30nC 150kJ (LHC) = 7TeV × 20nC 300kJ (J-PARC MR) = 40GeV × 8μC
電界	40/80MV/m 放電限界	40MV/m クエンチ	20GV/m × 2m = 40 GV	10 GV/m	?
繰り返し	50Hz	5Hz	50Hz	10Hz	1/18 Hz (SPS) 0.3 Hz (J-PARC MR)
ビーム電力 /駆動/AC	400W / 1 kW / 8 kW (1m辺り)	10 MW / 23 MW / 150 MW (ILC)	? / 3.5 kW / 70 kW	4 W ? /400W /4kW(LD)	? / 833W/75MW (SPS) / 300kW/25MW (J-PARC)
効率	5% ?	8% ?	5%(電子生成) × $\eta(e \rightarrow e)$	現状 0.1 % ?	4 %(陽子ビーム生成) × $\eta(p \rightarrow e)$

超短パルスを作るための圧縮

- バンチ圧縮にはエネルギー差が必要

- レーザー : CPA(チャーブパルス増幅)
- ビーム : 位相回転



面積は一定で保存するので
エネルギー差を大きくしない
と超短バンチにはならない

進行方向

Proton beam driven
electron accelerator

陽子ビーム駆動電子加速

- 陽子ビーム駆動
 - リング加速器で放射損失が無くエネルギーが高い
 - 粒子が重くプラズマ中の電子との衝突による損失小
 ×バンチ圧縮が難しい
 - 独自のシミュレーションコードの開発
- Awake Collaboration として展開
 - SPS (450GeV)での実験を計画

A PROPOSED EXPERIMENT ON THE PROTON DRIVEN PLASMA WAKEFIELD ACCELERATION

G. Xia¹, A. Caldwell¹, K. Lotov^{2,3}, A. Pukhov⁴, R. Assmann⁵, F. Zimmermann⁵

1. Max Planck Institute for Physics, 80805, Munich, Germany

2. Budker Institute for Nuclear Physics, 630090, Novosibirsk, Russia

3. Novosibirsk State University, 630090 Novosibirsk, Russia

4. Institute for Theoretische Physics I, Heinrich-Heine-University Duesseldorf, 40225, Germany

5. CERN, Geneva, Switzerland

陽子ビーム駆動電子加速の最初のアイデア

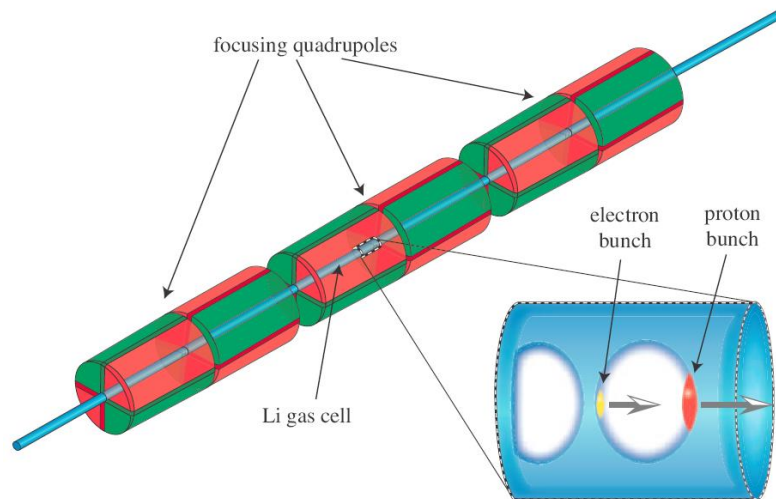
プラズマ加速にはトランス比の限界がある ($DW_e < W_d$).

TeVに行くには

- 多段の電子ビーム駆動
- 陽子駆動

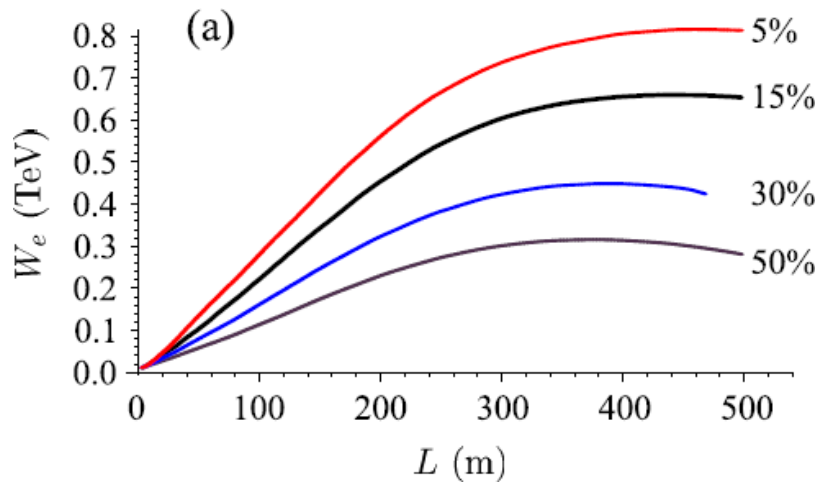
駆動エネルギーは

<40 J (laser), <120 J (electrons)
20 kJ (SPS), >150kJ (LHC)



1 TeV 陽子ビームで sub-TeV まで電子加速が可能だが…

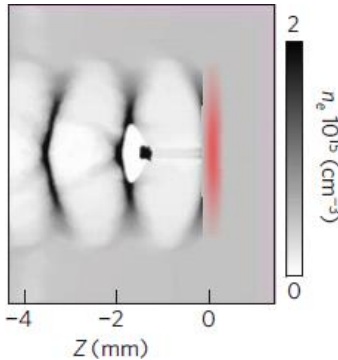
プラズマ波長程度に sub-mm まで陽子ビームを圧縮できれば



駆動ビーム: p^+
 $E=1 \text{ TeV}, N_p=10^{11}$
 $\sigma_z=100 \mu\text{m}, \sigma_r=0.42 \text{ mm}$
 $\sigma_\theta=0.024 \text{ mrad}, \Delta E/E=10\%$

加速ビーム: e^-
 $E_0=10 \text{ GeV}$
 $\text{Plasma: } n_p=10^{15} \text{ cm}^{-3}$

マルチバンチ駆動のウェーク場を使う



① 1バンチを圧縮

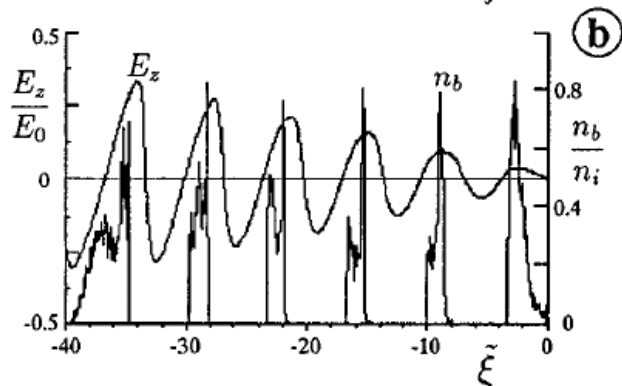
LHC beam: 7.6 cm, energy spread = 0.01%

位相空間の保存 0.1mm (300fs)に圧縮するには

→ エネルギー分散 = 7.6%

$\approx 500 \text{ GeV}$ (7 TeV ビームに対して)

ILCスケールの加速器が圧縮のために必要！



② バンチトレイン

10バンチにするにはエネルギー分散も 1/10 で良くなる

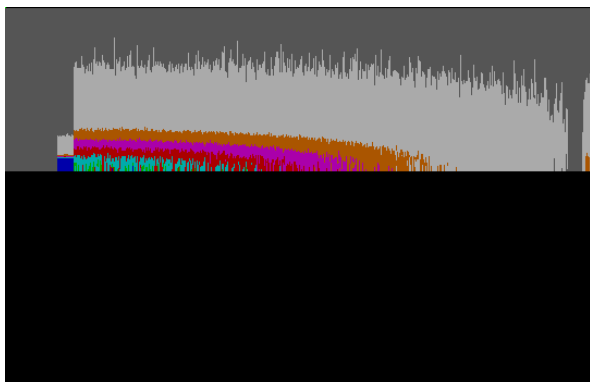
バンチ長 : 10mm

エネルギー分散: $0.076\% * 2 * 4$ (for bunching) = 0.6% = 42 GeV
できない事は無いが依然大変

③ 自己バンチング

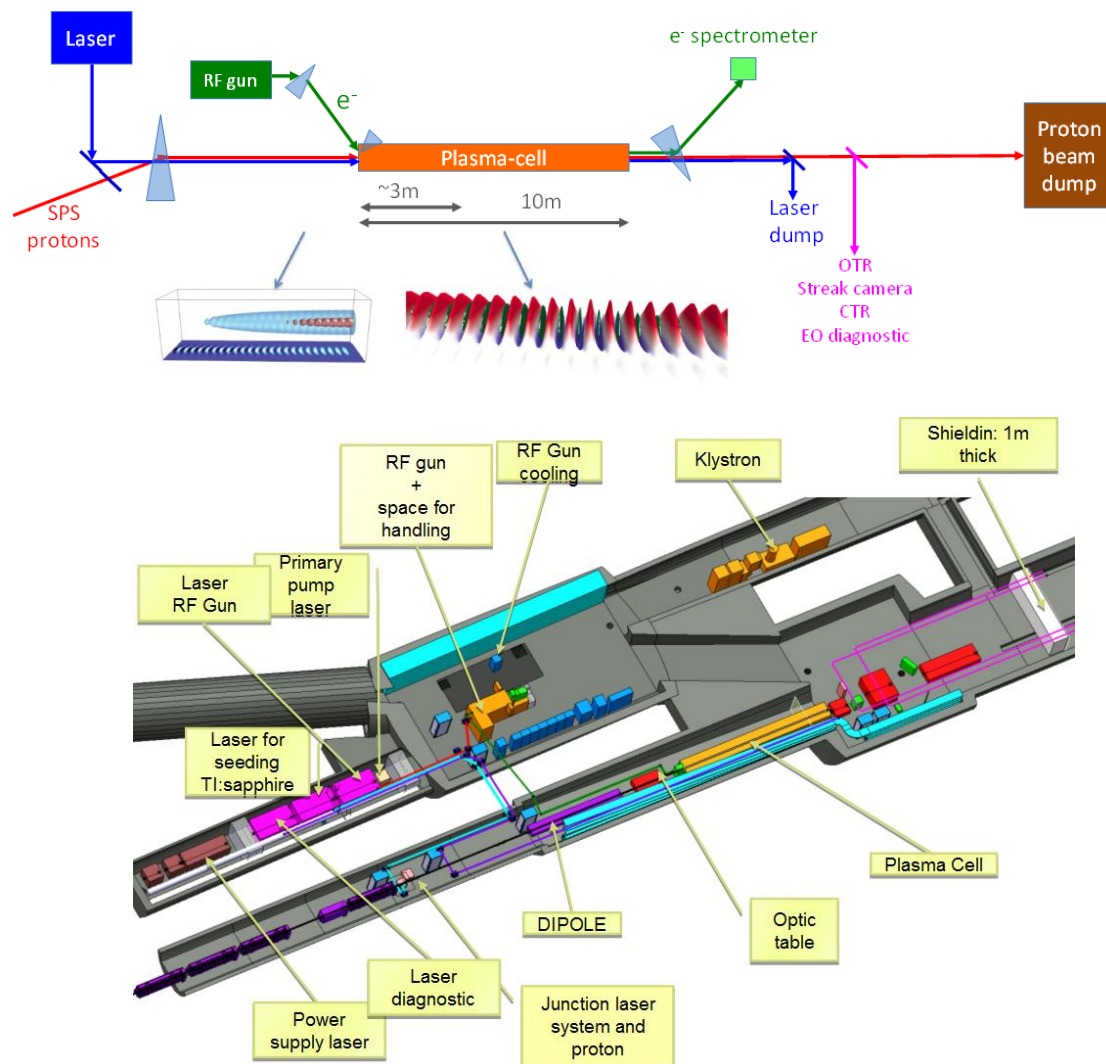
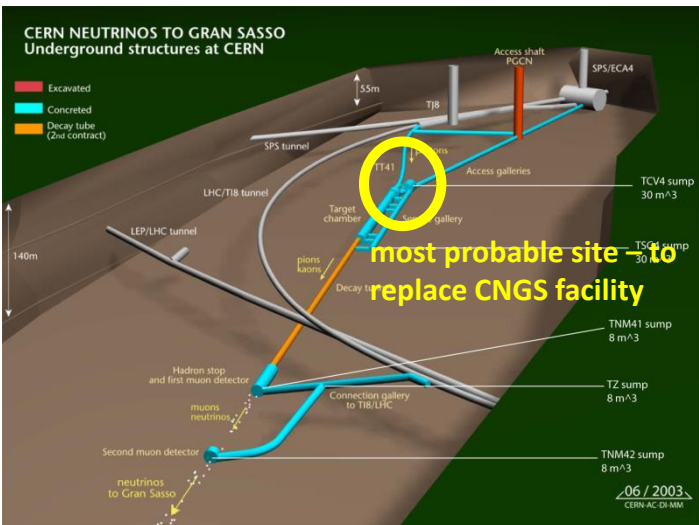
圧縮器無、チョッパー無

外部モジュレーションによるプラズマの自己モジュレーション

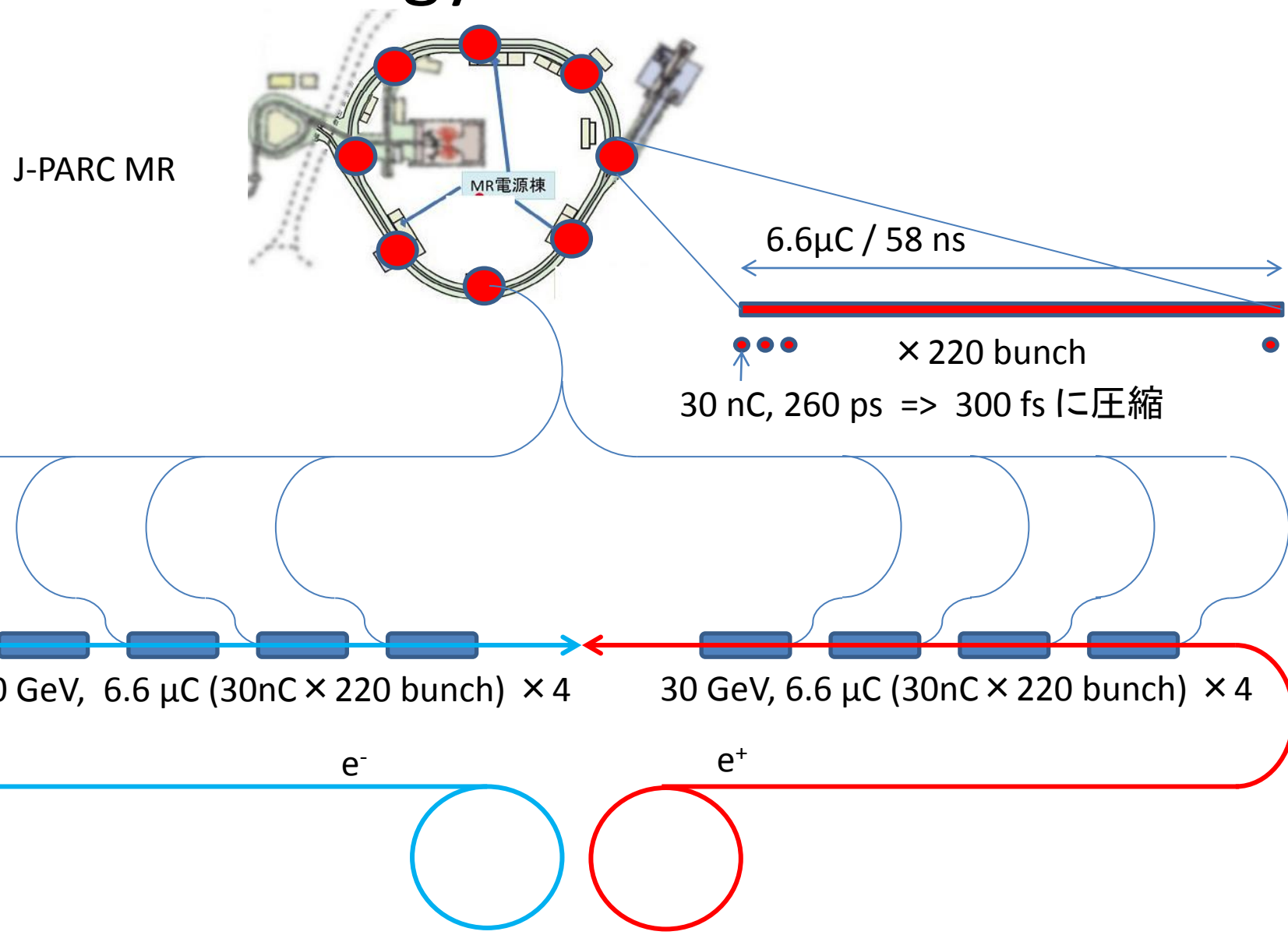


AWAKE Collaboration

AWAKE collaboration (>60 物理屋、~25 機関)
SPS からの 450GeV 陽子ビームを利用した実験を行う



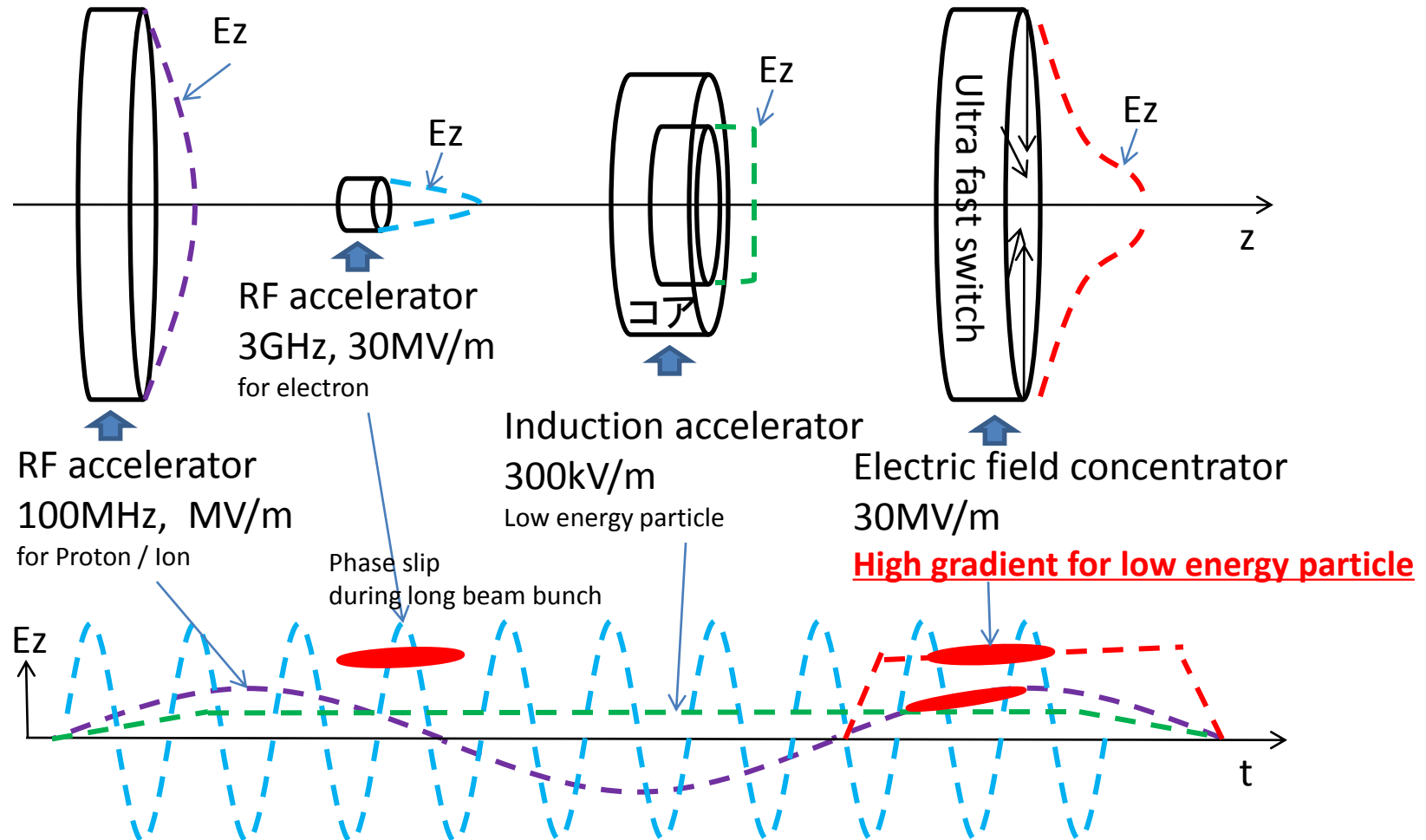
J-PARC の Energy Frontier への転用は？



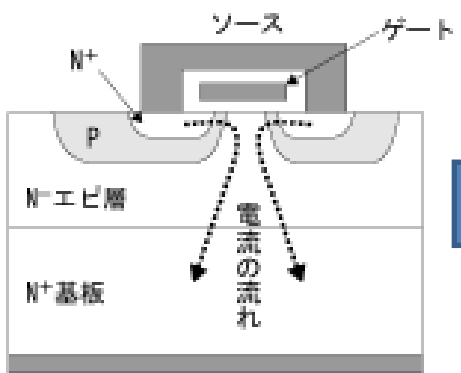
問題： エミッタンス、バースト、etc,...

Photoconductive switch accelerator

Electric field concentrator using ultra fast switch

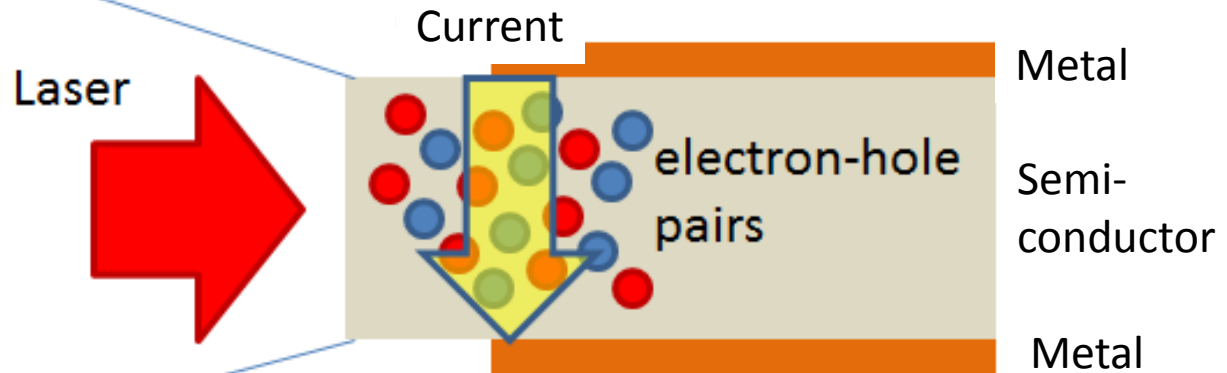


Dielectric accelerator using photo conductive switch

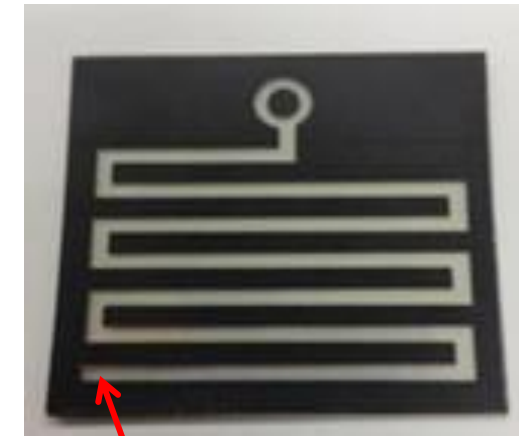
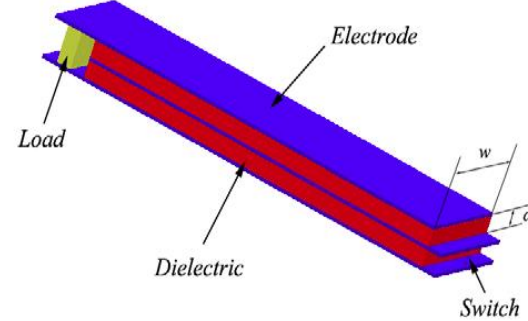
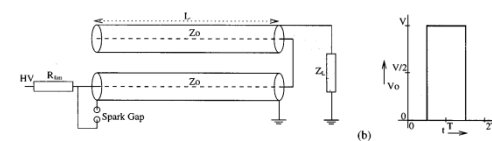
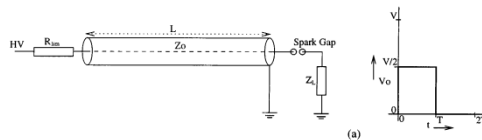
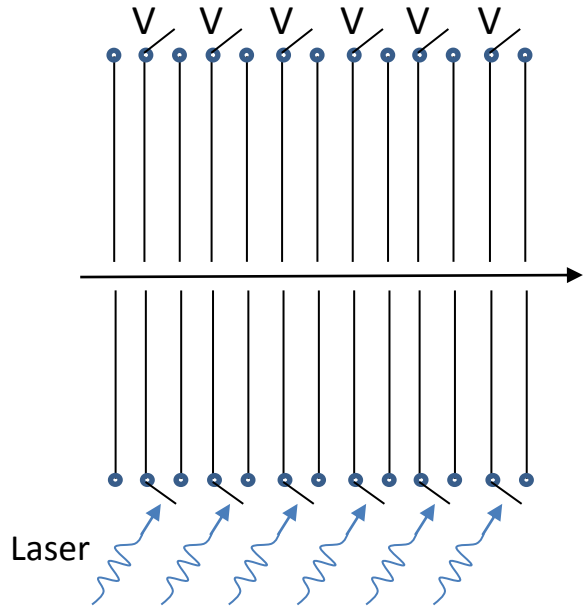


Photoconductive switch :

Direct carrier injection by picosecond laser



Blumlein accelerator by inverting the voltage of transmission line using photoconductive switch



Semiconductor for photoconductive switch

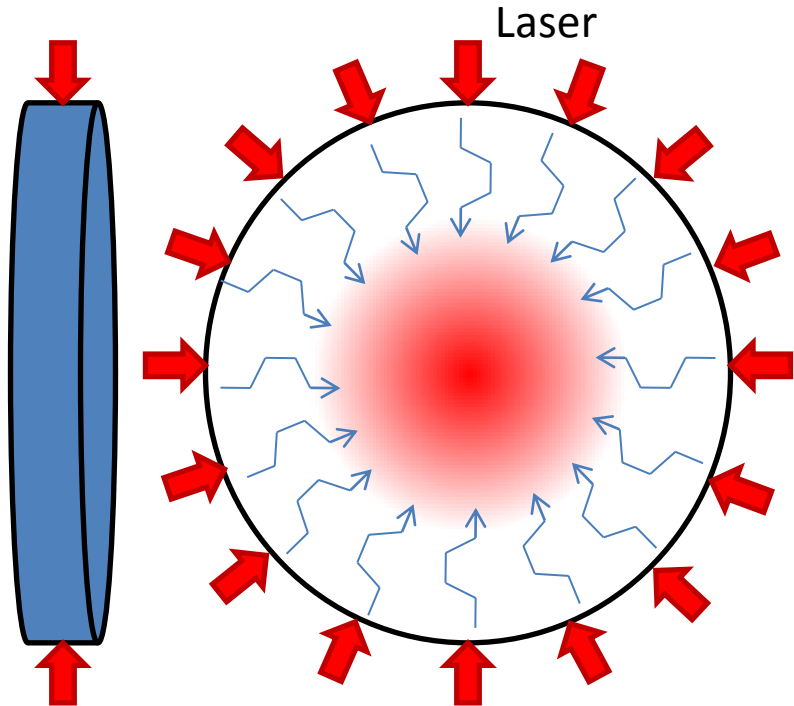
	Si	GaAs	InP	4H-SiC	GaN	GaP
Bandgap(eV)	1.11	1.424	1.34	3.23	3.37	2.26
Wavelength(nm)	1116.06306	869.964888	924.5	383.5387	367.605341	548.154867
Insulation voltage(kV/cm)	300	250(600?)	200	3000	3300	
Relative permittivity	11.8	12.8		10	9.5	
Dark resistance(Ω cm)	2×10^3	2×10^7	3.6×10^7	$> 10^{11}$		
Electron mobility(cm^2/Vs)	1500	8500	6500	1000	1200	200
Hole mobility(cm^2/Vs)	600	420		115	10	
Saturation electron velocity(10^7 cm/s)	1	2		2	2.5	
Thermal conductivity(W/cm/K)	1.4	0.55	0.7	4.9	2.1	1.1
Expansion coefficient($10^{-5}/\text{K}$)	2.4	6	4.5	4.2/4.68	5.58/3.17	5.3~5.81
Lattice constant(Å)	5.43	5.6535	5.45	3.073/10.053	3.189/5.178	5.45

300 MV/m

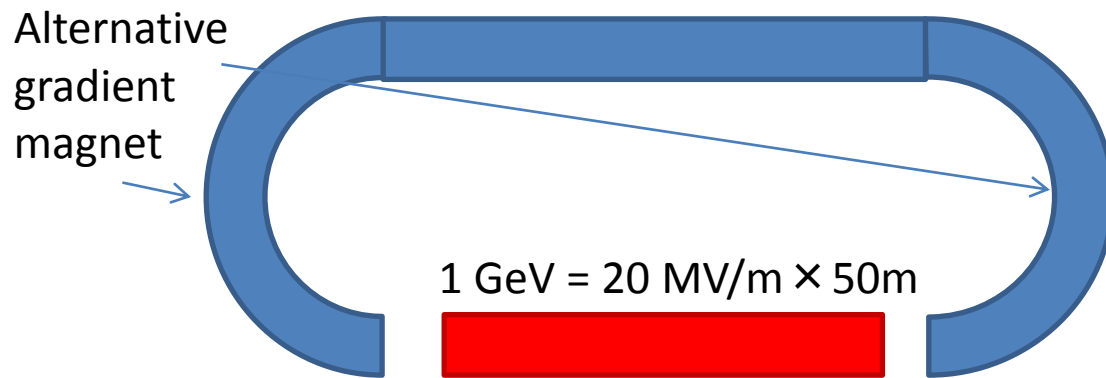
Ideal material for photoconductive switch

- High mobility / High withstand voltage
- Small dielectric loss
- Cost of wafer

Field Concentrator Microtron



$$58\text{ns} = 8.7\text{m} / n=3 (\text{Al}_2\text{O}_3)$$



Muon phase rotation is possible in last turn.

Blumlein DWA Microtron

	放医研	群馬大	Blumlein Microtron	J-PARC RCS	J-PARC MR	Blumlein Microtron
Energy (MeV/iu)	430	400	400	3000	50000	50000
Injection Energy(MeV/u)			0	400	3000	3000
Particle per bunch				4.15E+13	4.13E+13	4.15E+13
Particle per spill	1.15E+08	2.40E+09		8.30E+13	3.30E+14	4.15E+13
Particle per second	2.30E+08	1.20E+09		2.08E+15	9.90E+13	2.08E+14
Repetition	2	0.5		25	0.3	5
Numer of Bunch				2	8	1
Bunch Length(ns)				58	58	58
Bunch Spacing(ns)					598	
Charge per bunch(nC)				6.65E+03	6.61E+03	6.65E+03
Charge per spill (nC)	1.84E-02	3.84E-01	0.00E+00	1.33E+04	5.29E+04	6.65E+03
Current (nA)	3.68E-02	1.92E-01	0.00E+00	3.32E+05	1.59E+04	3.32E+04
Peak Current(A)				1.15E+02	1.14E+02	1.15E+02
Revolution (MHz)	1.697	4.761905		0.833333333	0.188679245	
Revolution (us)	0.589275	0.21		1.2	5.3	
Circumference(m)	176.7826	63		348.333	1567.5	
Bending Radius(m)					89.381	
Bending Magnetic Field(T)					1.9	
Injection(s)				0.0005	0.17	
Acceleration(s)				0.02	1.96	
Acceleration Gradient(MV/m)			20		0.03	20
Accelerator Length(m)			0.5		1.846	1
Number of Acceleration Unit			1		6	50
Acceleration Voltage(MV)			10		0.28	1000
Q value					20	
Number of Turns			40		167857.1429	47
Real Acceleration(s)					0.889642857	
Delay Line Length(m)						17.4
Injection Emittance(π mm \cdot mrad)				4	54	
Painting Emittance(π mm \cdot mrad)				216		
Extraction Emittance(π mm \cdot mrad)				54		
Power Consumption(W)						
Beam Power (W)	1.58E-02	7.69E-02	0.00E+00	9.97E+05	7.93E+05	1.66E+06

Experimental plan
for stageing laser plasma acceleration
at KEK

LWFA (linear region)

$$E = -\frac{\partial A}{\partial t} - \nabla \phi, \quad B = \nabla \times A, \quad \nabla \cdot A = 0 \text{ (coulomb gauge)}$$

$$\frac{1}{\mu} \nabla \times \nabla \times A = j + \varepsilon \frac{\partial}{\partial t} \left(-\frac{\partial A}{\partial t} - \nabla \phi \right)$$

$$\frac{\partial \rho}{\partial t} + \nabla \cdot j = 0, \quad j = \rho v, \quad \rho = \rho_0 + \delta \rho \rightarrow \nabla \cdot v = -\frac{1}{\rho_0} \frac{\partial \delta \rho}{\partial t}$$

$$\frac{dp}{dt} = m \left(\frac{\partial v}{\partial t} + (v \cdot \nabla) v \right) = -e(E + v \times B) = e \left(\frac{\partial A}{\partial t} + \nabla \phi + v \times (\nabla \times A) \right)$$

$$v_0 = \frac{e}{m} A = c a, \quad F_p = m \frac{\partial \delta v}{\partial t} = -mc^2 ((a \cdot \nabla) a + a \times (\nabla \times a)) = -mc^2 \nabla \left(\frac{a^2}{2} \right)$$

div

$$m \frac{\partial \nabla \cdot v}{\partial t} + mc^2 \Delta \left(\frac{a^2}{2} \right) = -e \nabla \cdot E = \frac{e}{\varepsilon} \delta \rho$$

$$\left(\frac{\partial^2}{\partial t^2} + \frac{e \rho_0}{m \varepsilon} \right) \frac{\delta \rho}{\rho_0} = c^2 \Delta \left(\frac{a^2}{2} \right) \quad \rightarrow \quad \omega_p = \sqrt{\frac{e \rho_0}{m \varepsilon}}$$

$$\left(\frac{\partial^2}{\partial t^2} + \omega_p^2 \right) \phi = \frac{\rho_0 c^2 a^2}{2 \varepsilon} = \omega_p^2 \frac{mc^2 a^2}{2e} \quad \leftarrow \quad \Delta \phi = \frac{\delta \rho}{\varepsilon}$$

$$\left(\frac{\partial^2}{\partial \zeta^2} + k_p^2 \right) \phi = k_p^2 \frac{mc^2 a^2}{2e} \quad \leftarrow \quad \zeta = z - ct$$

$$A = A_0 e^{jk(z-ct)}$$

$$S = (-jkcA_0)(-jkA_0)$$

$$I = \frac{E^2}{c} = ck^2 |A|^2$$

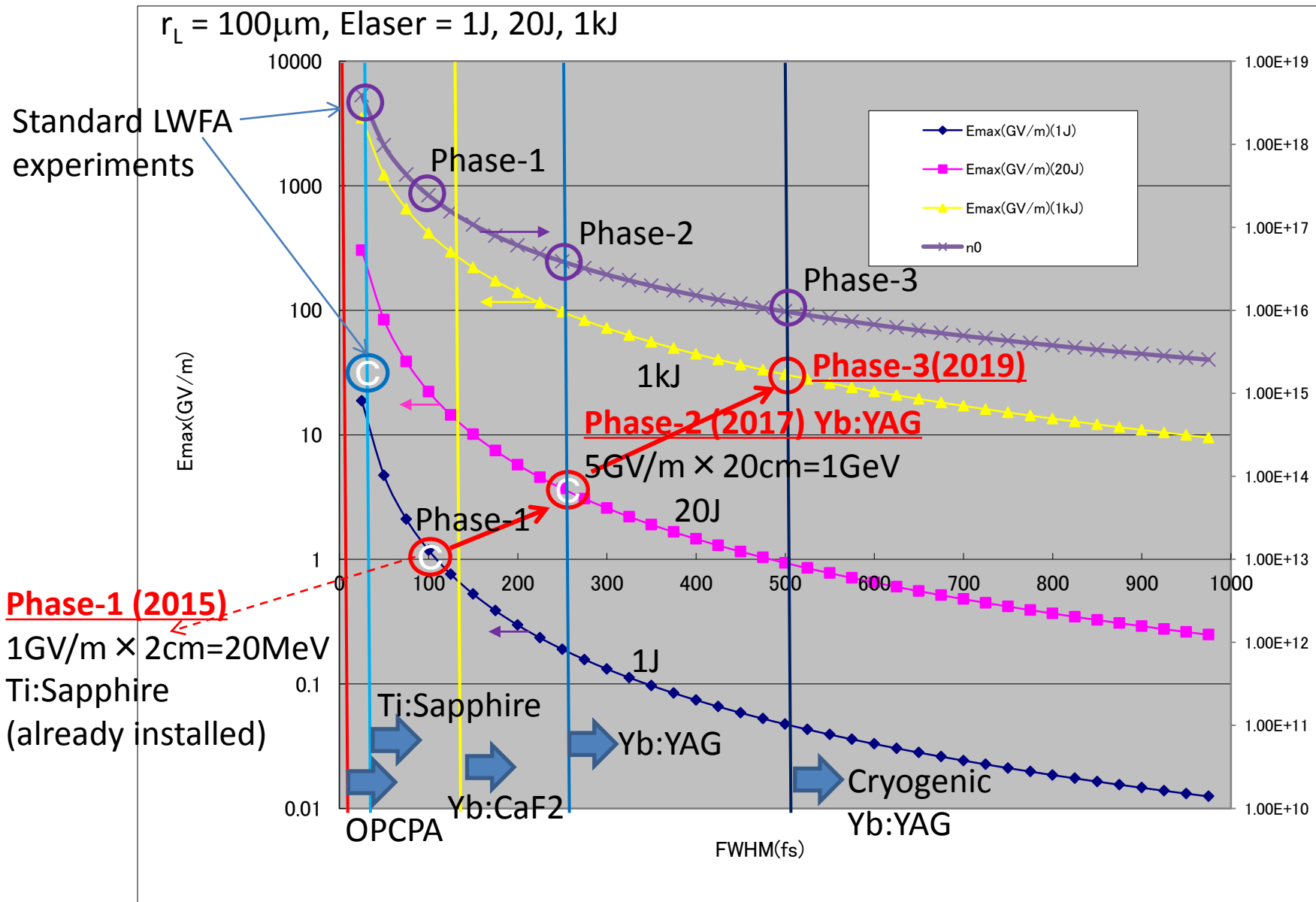
$$a_0 = \frac{eA_0}{m_e c} = \frac{e}{m_e c k} \sqrt{\frac{I}{c}}$$

$$\phi = -\frac{mc^2 k_p}{2e} \int_{\zeta}^{\infty} d\zeta' \sin(\zeta - \zeta') a^2(r, \zeta')$$

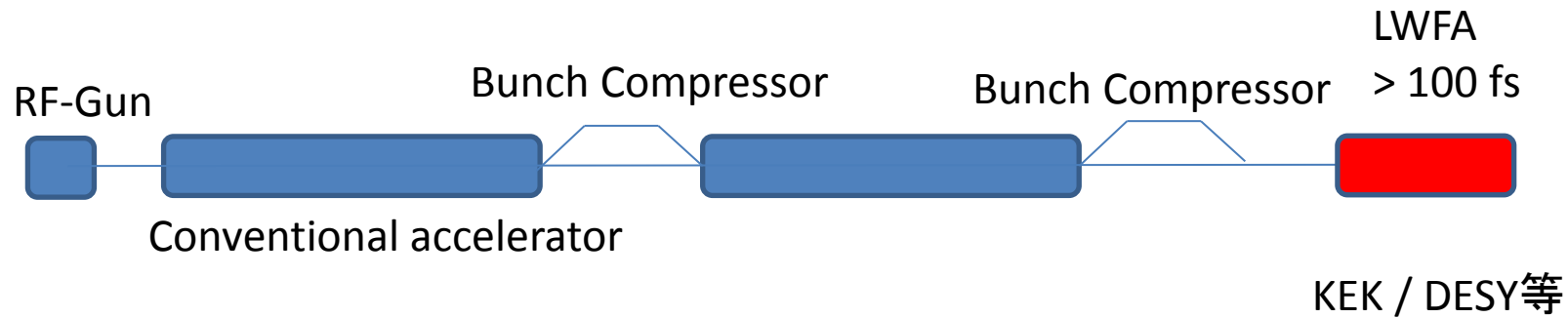
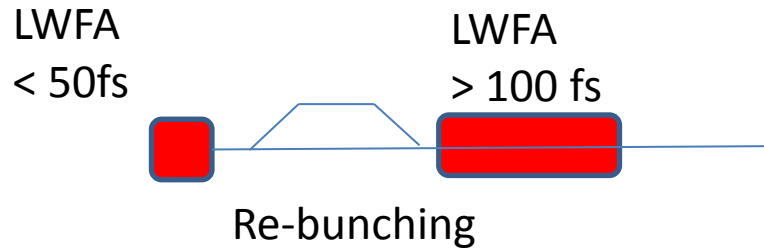
$$E_z = -\frac{\partial \phi}{\partial \zeta}, \quad a = a_0 e^{-\frac{r^2}{r_0^2} - \frac{\zeta^2}{2\sigma_z^2}}$$

$$eE_z =$$

Possible experimental region for LWFA

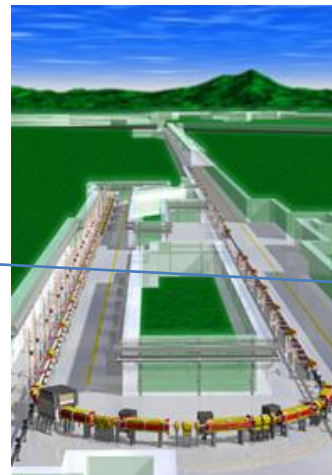
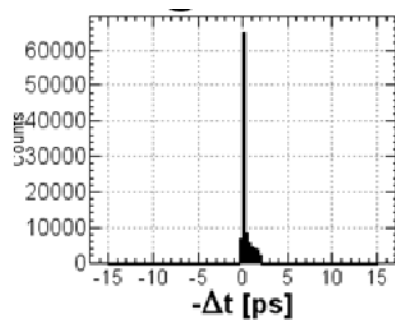
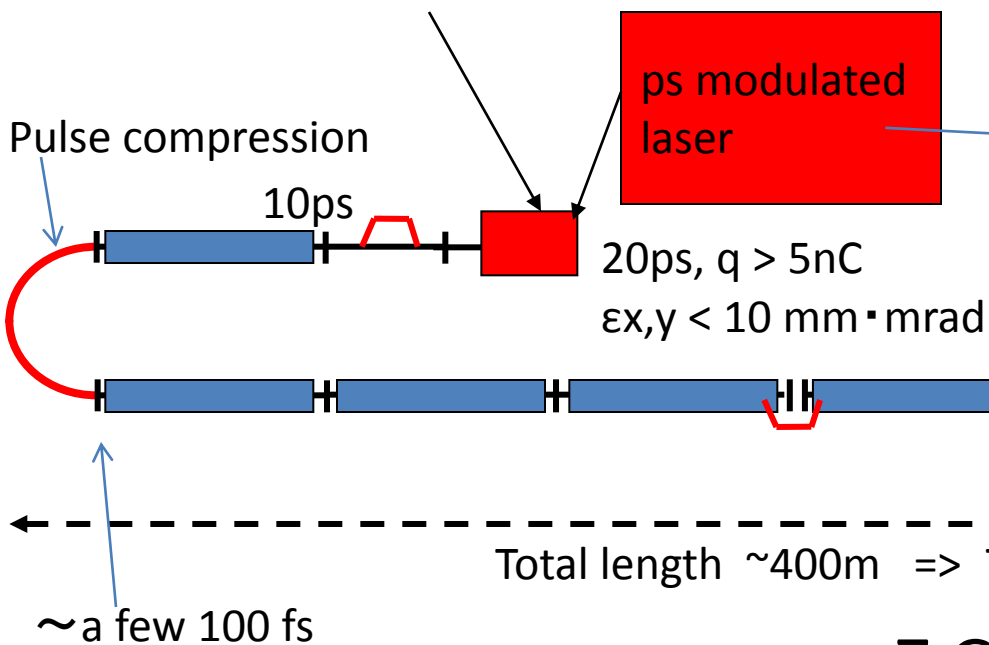


Stageing laser plasma acceleration



Facility concept of Ultra High Intense Beam-Laser Complex using existing 7 GeV KEK LINAC

Advanced photocathode RF-Gun (under operation)



Experimental Area

Laser
Ti:Sapphire
Yb:YAG

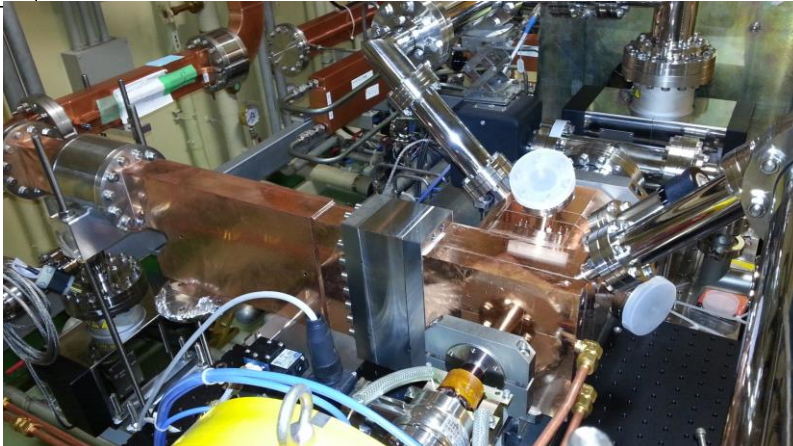
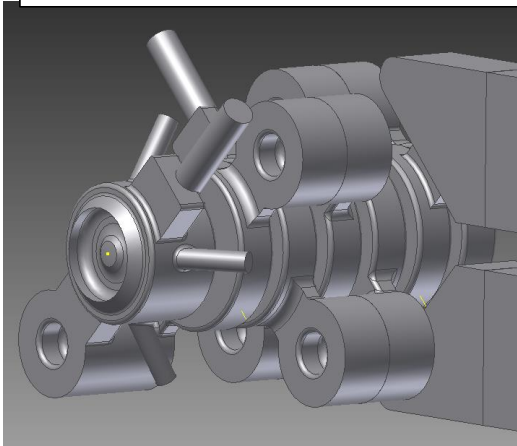
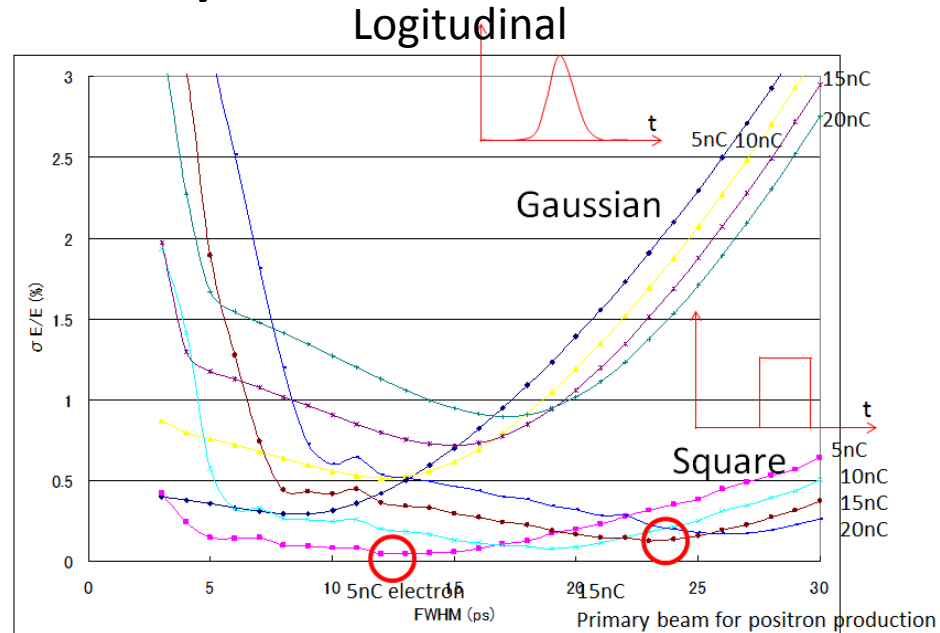
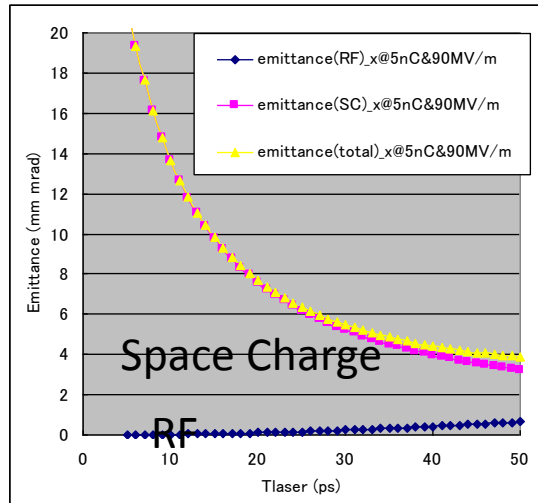
e- 7 GeV, 7nC
 $\sigma_{x,y} = 35\mu\text{m}$ ($\beta \sim 1\text{m}$)
/ 50fs = 1 PW

Future target : 1 PW beam x 10 J laser

(upgrade to 100J in the future)

Beam Quality

Transverse
High Charge & Low emittance RF-Gun

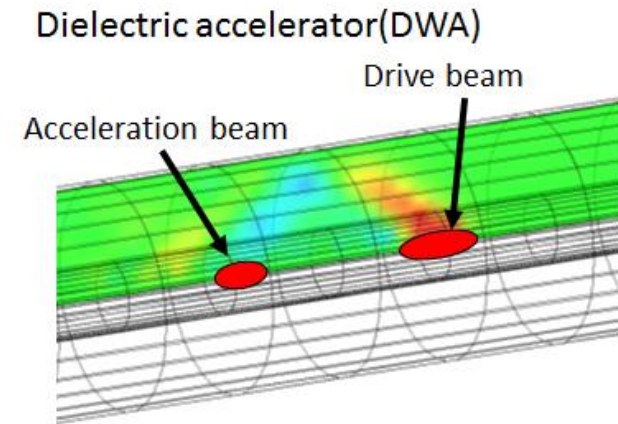


0.1 % energy spread
at 5 nC x 12 ps
 $\Rightarrow 30 \text{ fs} / 5\text{nC} / 40\%$
 $= 1.2 \text{ PW}$

Maximum Current : $5 \text{ nC} \times 200\text{bunch} \times 50\text{Hz} = 50 \mu\text{A}$

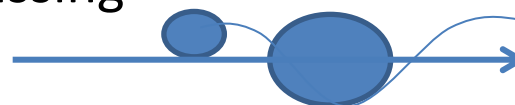
Beam-Laser complex at KEK

- Beam driven accelerator
 - Stable PW beam 7 GeV x 7 nC/50fs
 - Reliable path to MW average power (FLAST Forward is on going.)
 - Resonant DWA for the energy multiplication



- PWFA for High brilliance X-ray source
 - Betatron oscillation with offset witness bunch injection
 - Beta matching using Laser Plasma Focussing

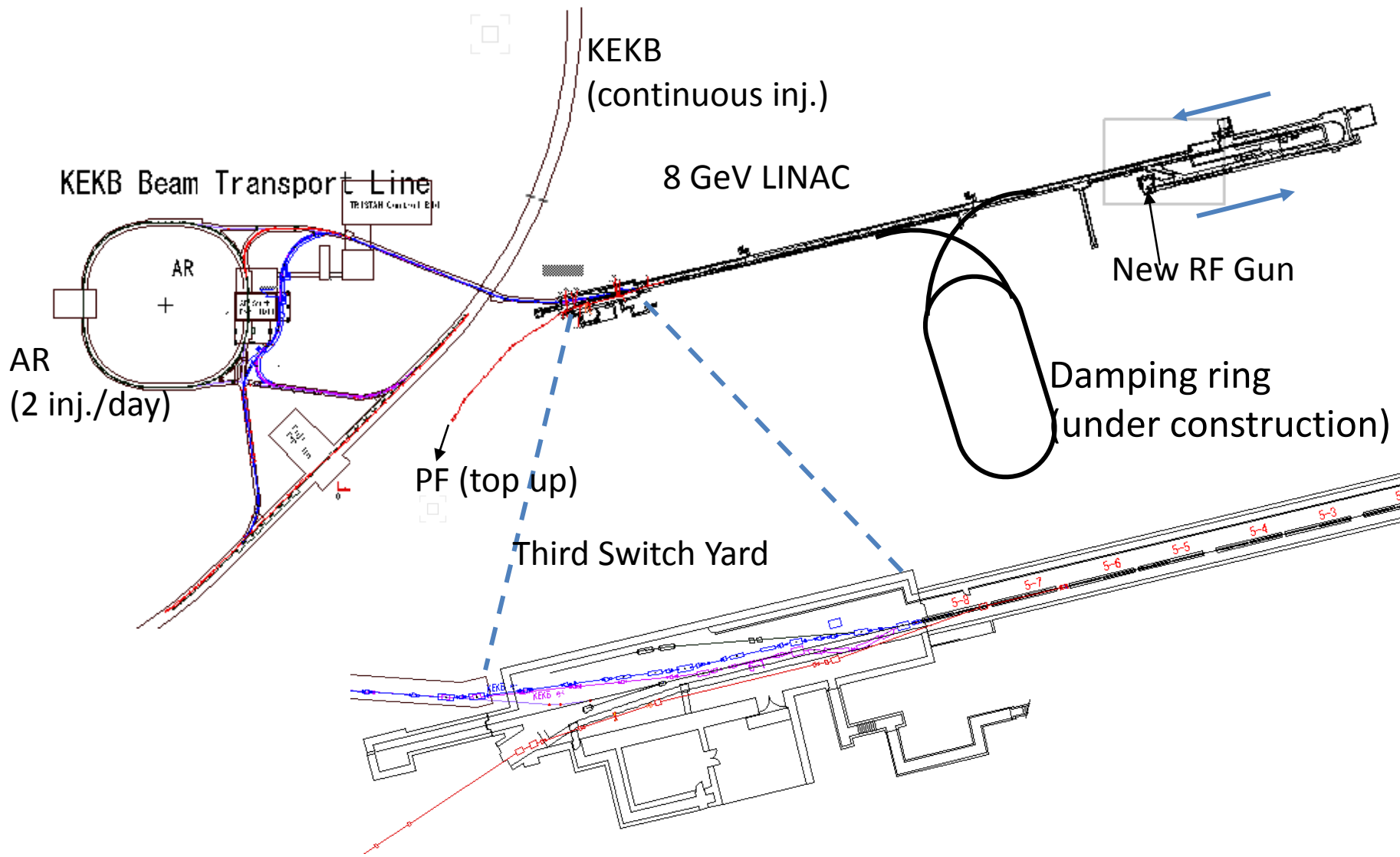
- Laser plasma after burner



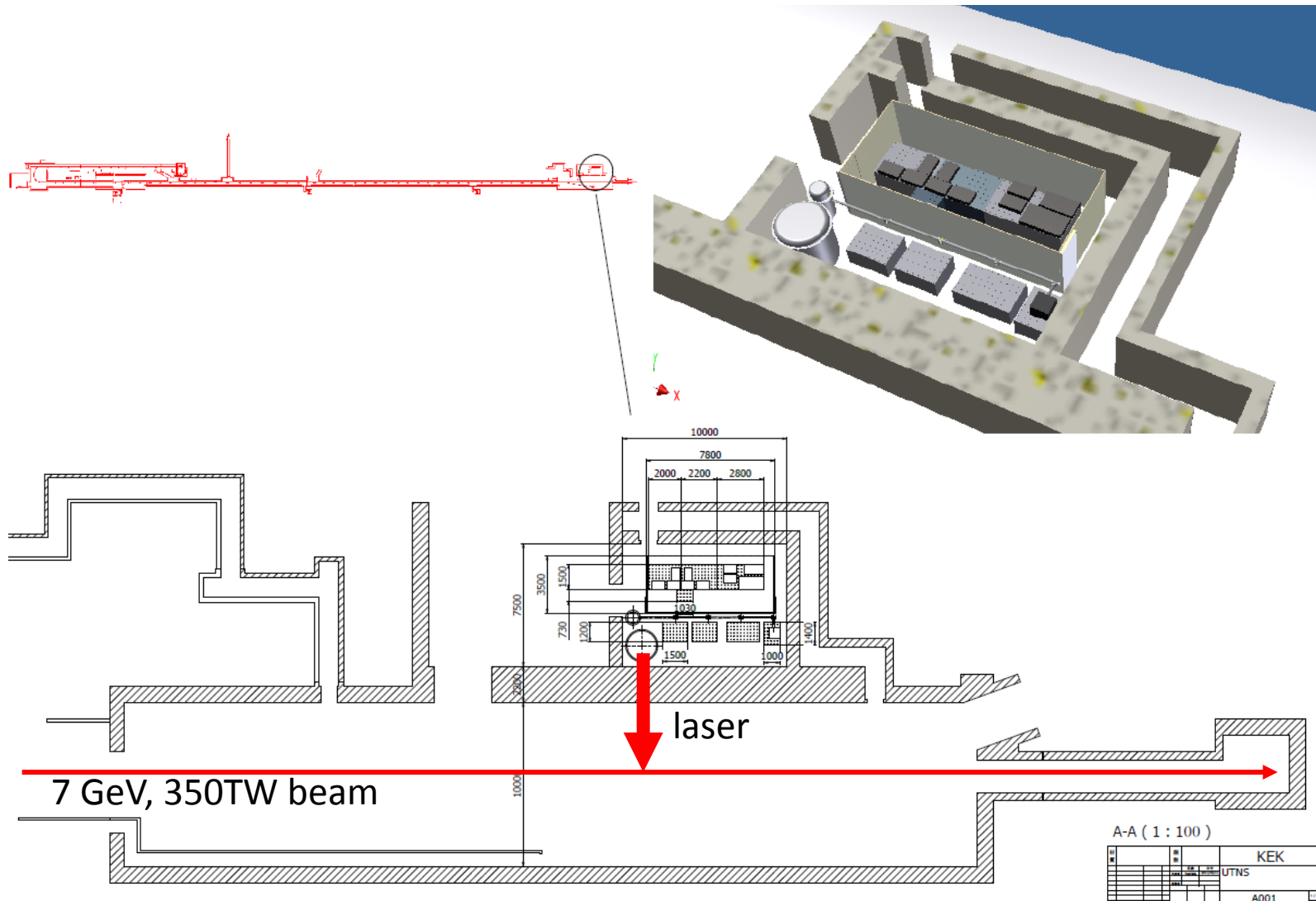
- Synchronization : PLL between photocathode drive laser and LWFA laser.
- **Focus to Linear regime** (no LWFA injection)
- **Precise beam diagnostics** with beam optics
 - $\varepsilon = \underline{1.5\text{nm}}$, $\beta = 1\text{m} \Rightarrow \sigma = 40\mu\text{m}$, $\eta = 100\text{ mm}$
 - < 1 MeV / 7 GeV resolution is possible

- Direct Laser / THz acceleration
 - 1 GV/m

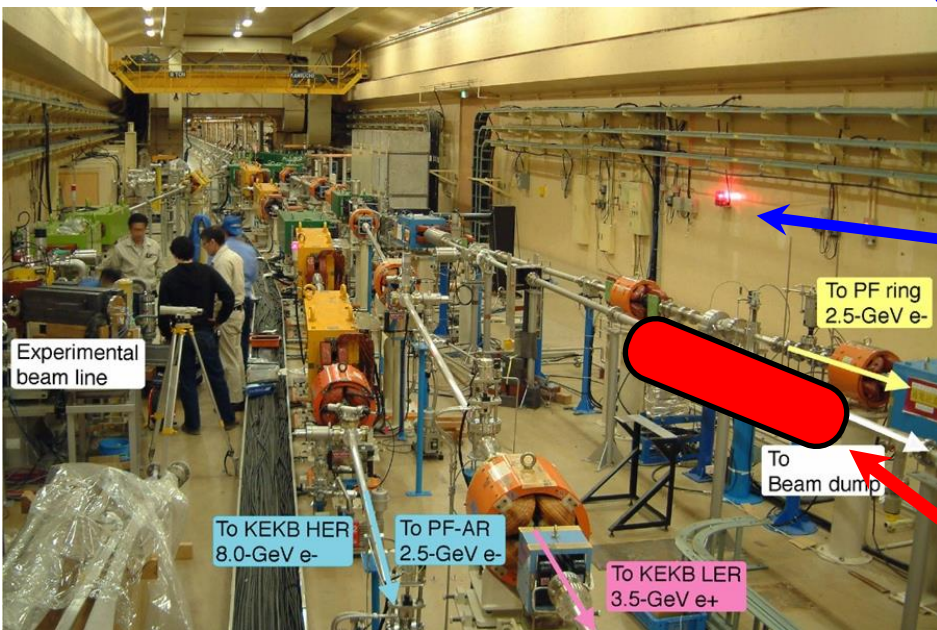
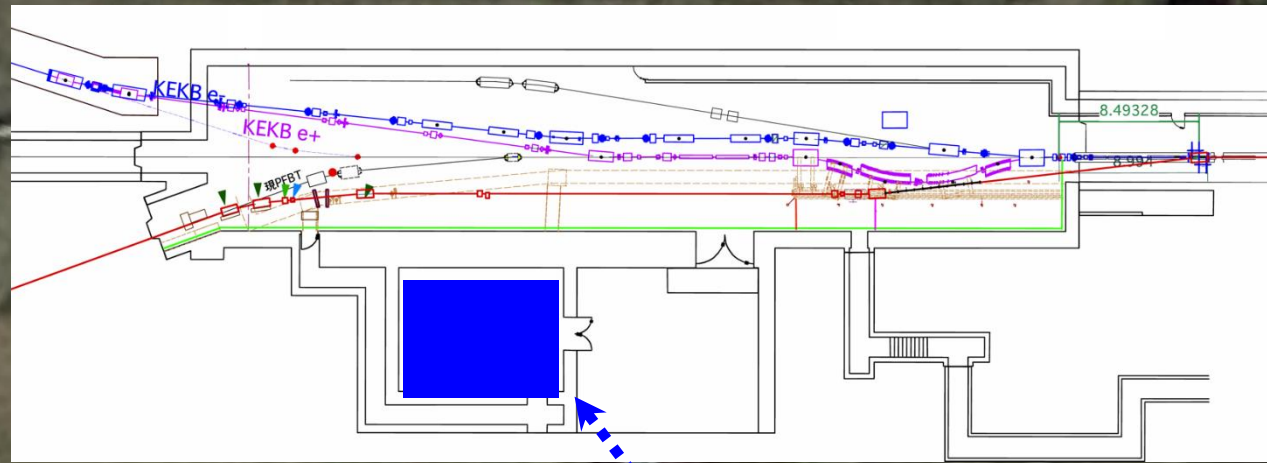
8 GeV LINAC Third Switch Yard



Experimental area for laser plasma after burner



Experimental area for laser plasma after burner

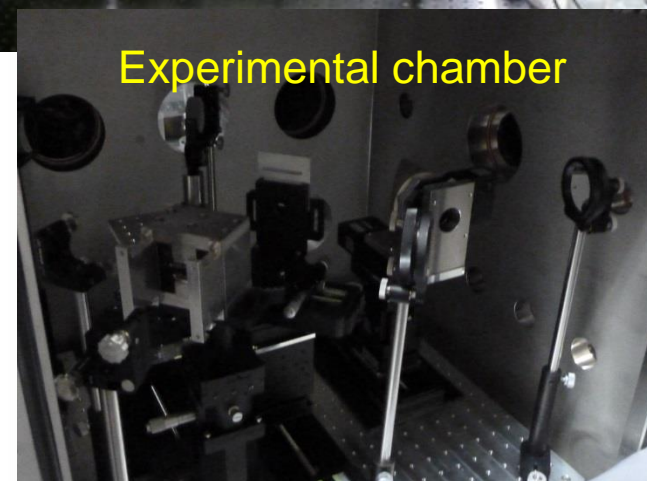
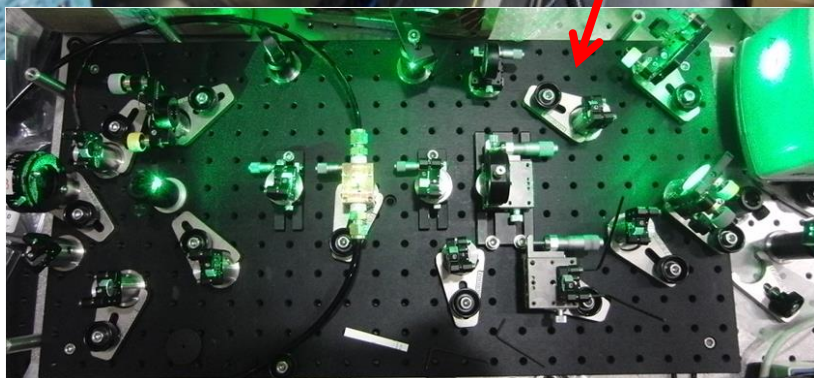
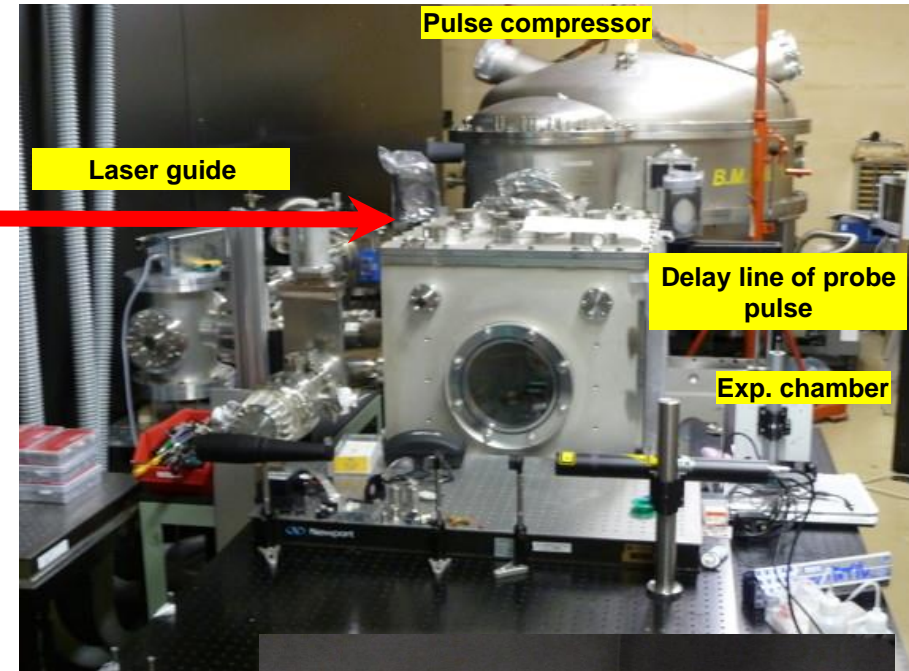
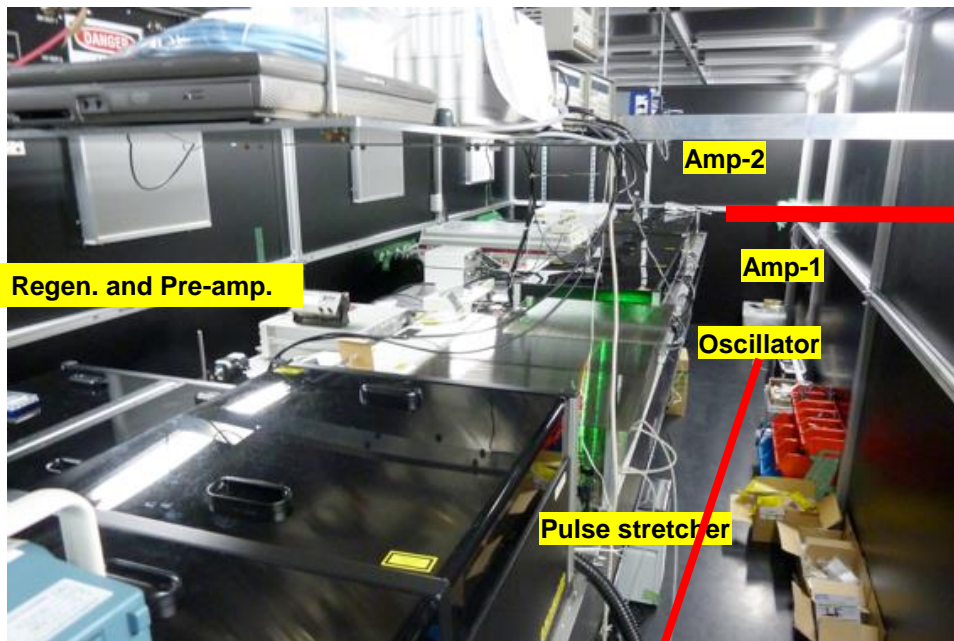


Ti:Sapphire Laser
7 TW => 100TW(future)

Compressor
Vacuum chamber under installation

Ti:Sapphire Laser from U-Tokyo Uesaka-lab

THALES α -10 + Oscillator

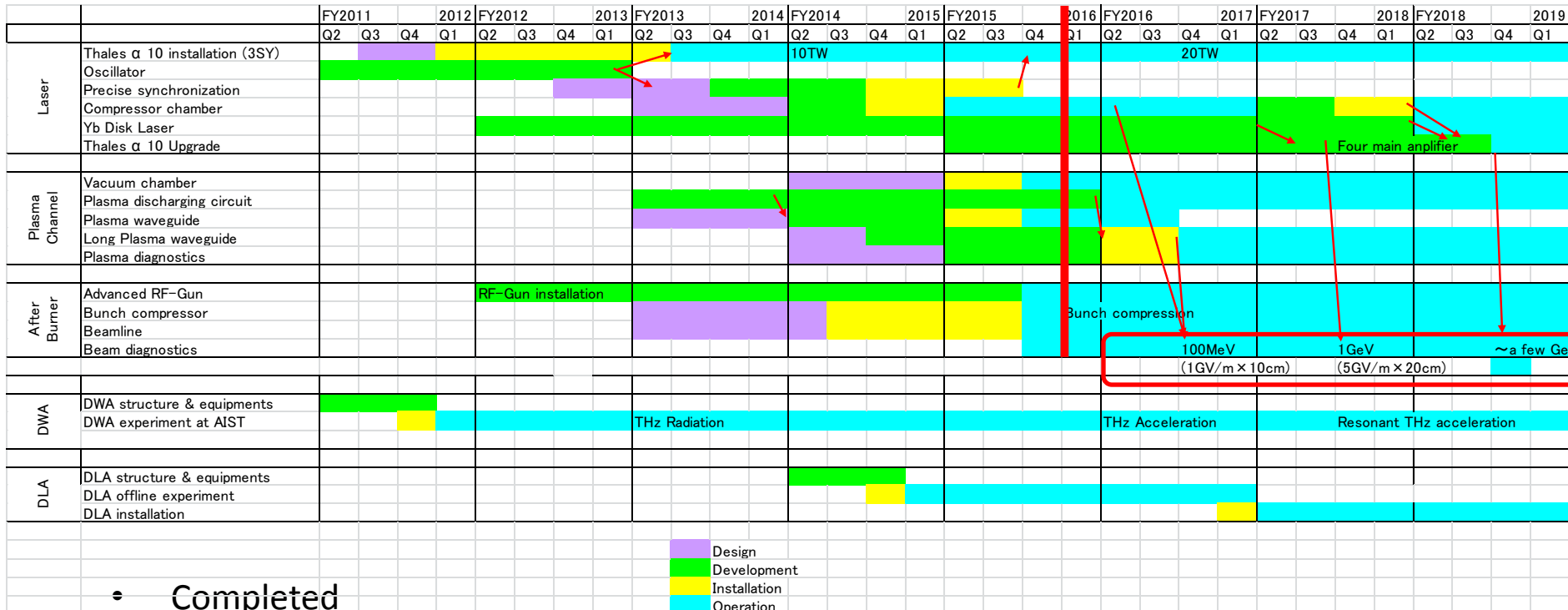


$300\text{mJ}/40\text{fs} = 7 \text{ TW}$ at present

=> 25 TW (upgrade compressor and Nd:YAG pump) in FY2013

=> ??? TW (Yb:YAG pump)

Schedule (FY2011-2019)



- Completed

- Oscillator and synchronization
- Ti:Sapphire laser already installed
- High charge & low emittance RF gun installed
- 4-stage bunch compressor

- Under development

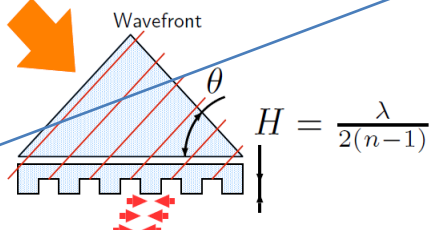
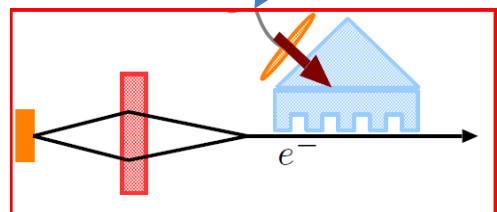
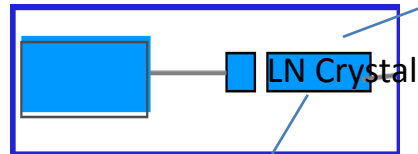
- Laser upgrade
 - Transmission grating compressor
 - High energy Yb:YAG disk laser
- Long plasma waveguide
- Beam diagnostics

Direct Laser / THz acceleration

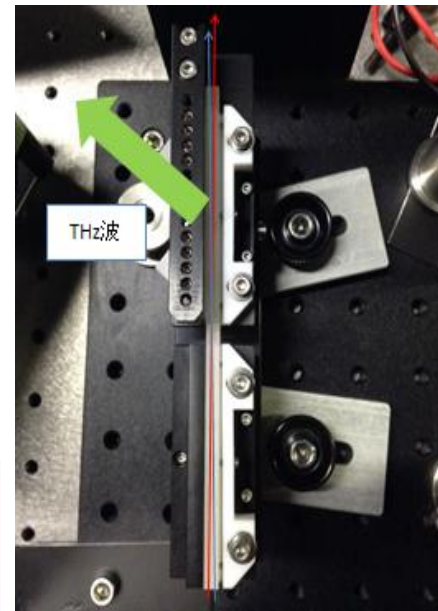
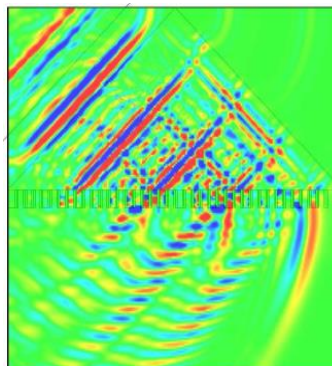
Direct Laser / THz acceleration

- Direct Laser Acceleration
 - Test Structure is fabricated in NIMS process
- Direct THz Acceleration
 - Same gradient at
10mJ (1.2THz) \Leftrightarrow 100J (12GHz)
 - High Intense THz is single cycle or a few cycle
→ Normal injection is ineffective
=> Prism Injection Schme

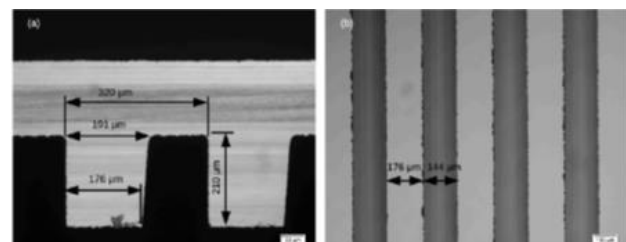
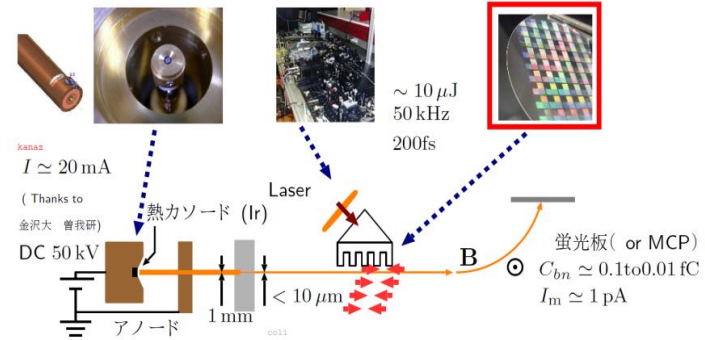
Microchip Parametric THz Laser



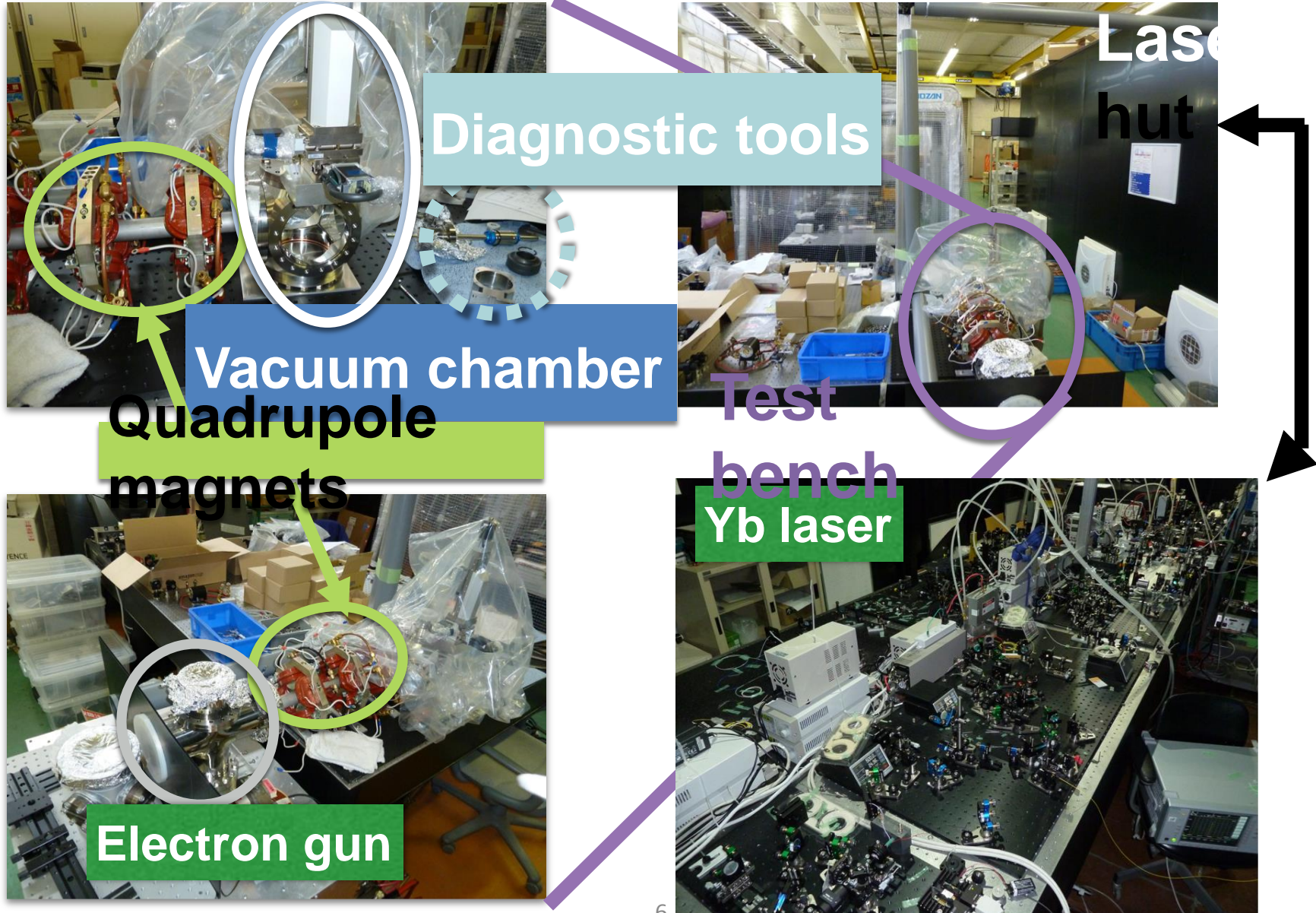
$$\text{Grating : } (n-1)H = \frac{\lambda}{2}$$



THz DLA structure

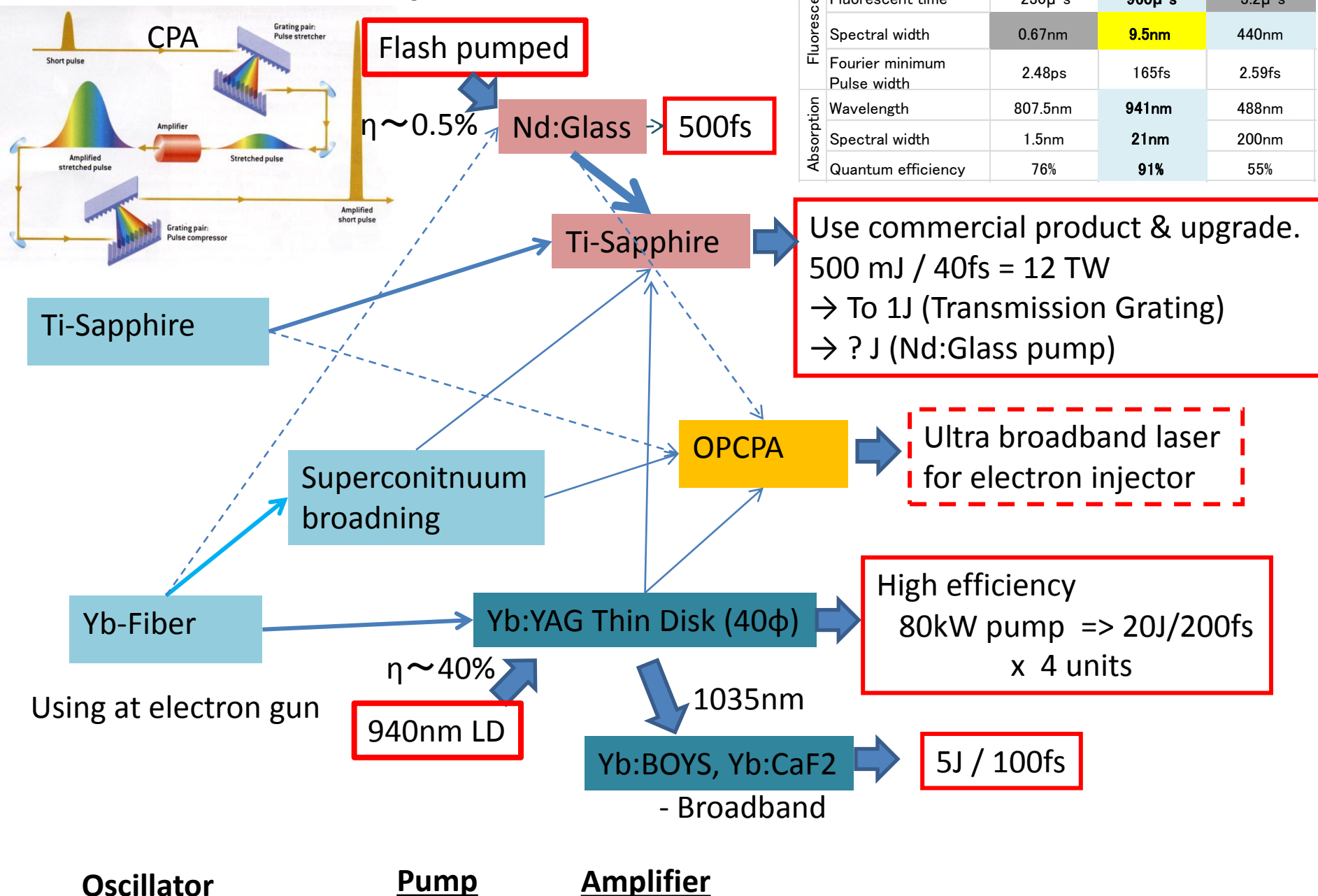


Test Bench for DLA

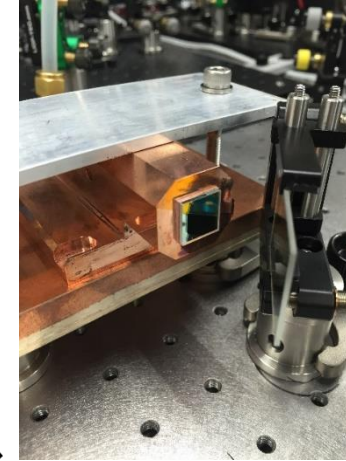
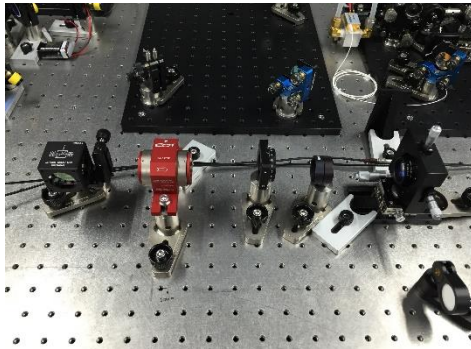
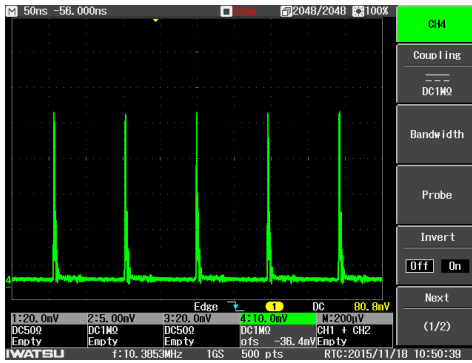


Laser development
toward high energy sub-picosecond
LWFA afterburner experiment

Laser development in KEK

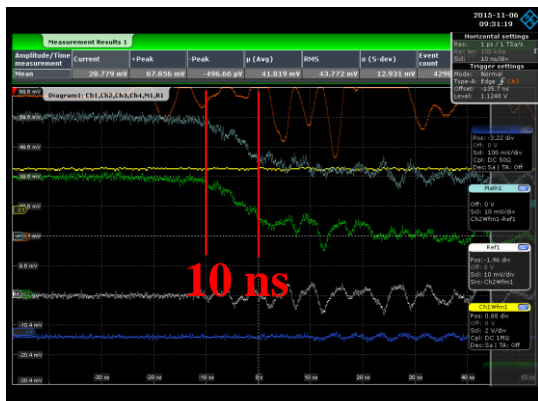
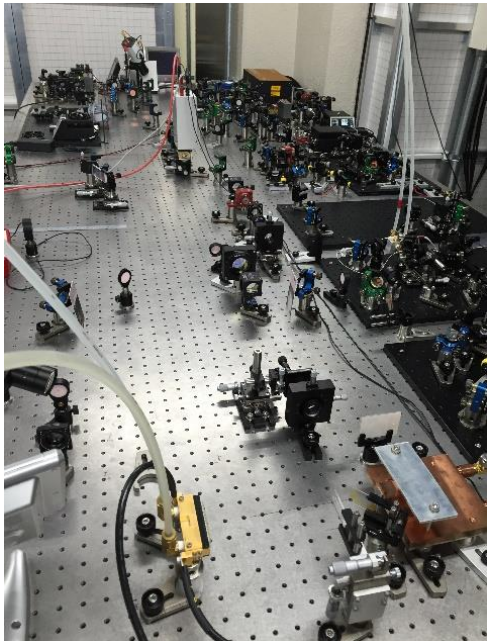
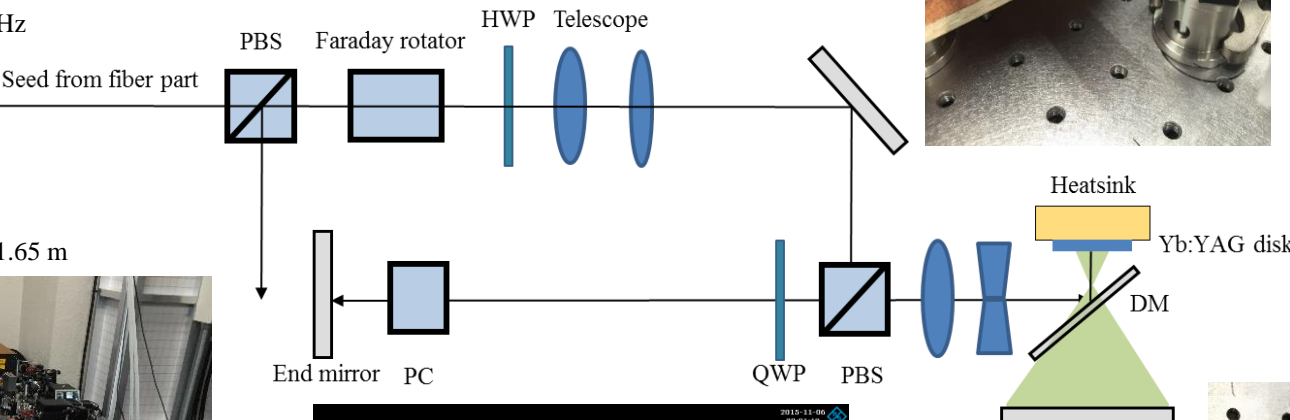


Yb:YAG regenerative amplifier: Experimental setup



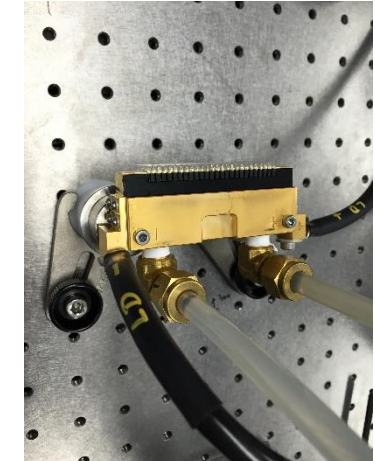
- Thickness of Yb:YAG disk: 1.0 mm
- Size: 12.7 x 12.7 mm
- Doping concentration: 10 a.t.%

- Repetition rate: 10 MHz
- Power: 160 mW
- Pulse width: 30 ps

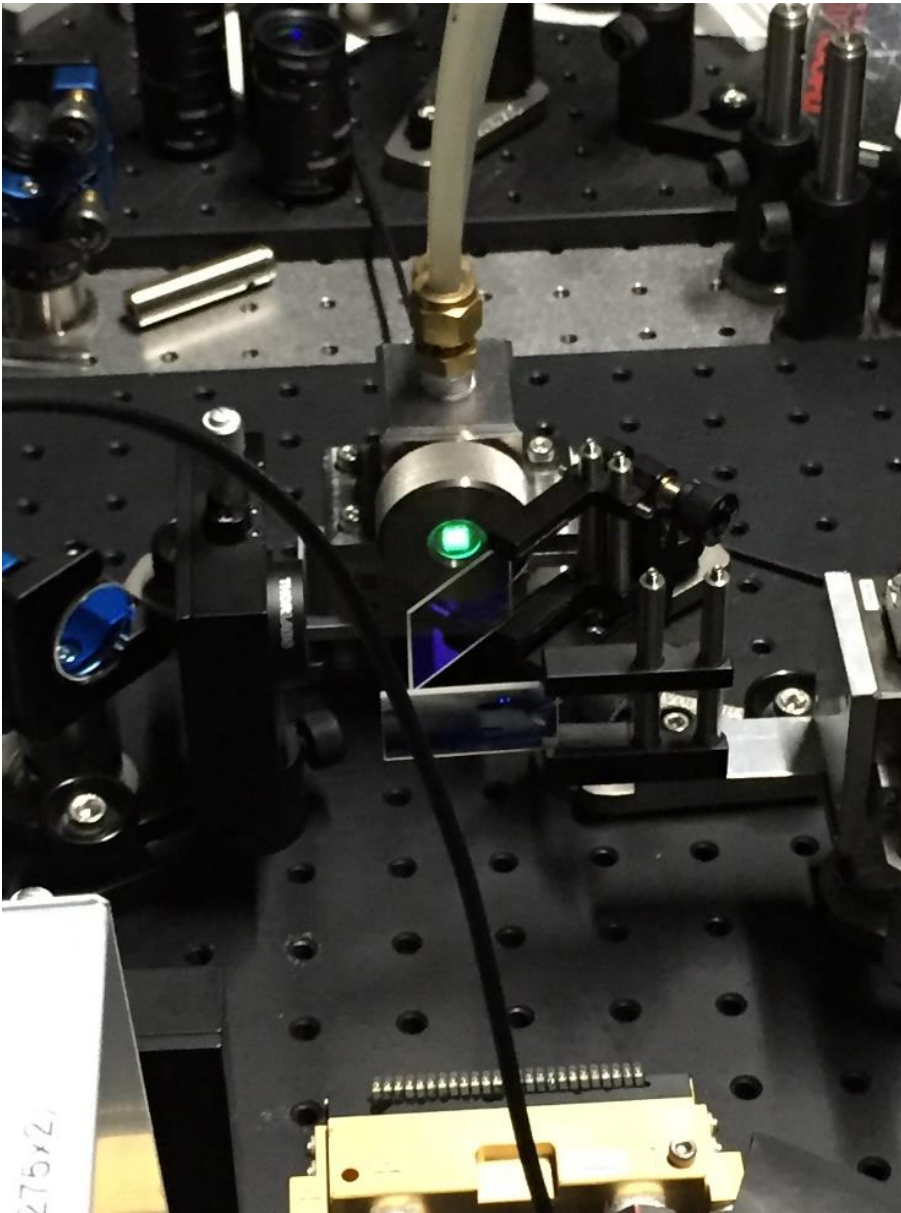


Pockels cell rise time: 10-15 ns

- Repetition rate: 1-50 Hz
- Peak power: 10 kW
- Pulse width: 600 μs
- Small divergence along the fast axis direction



10kW = 6J LD pump 50 pps



2J output

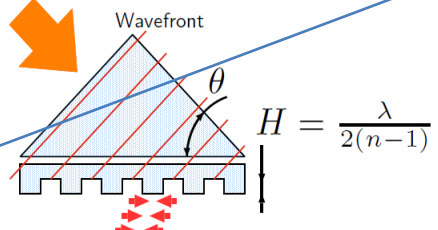
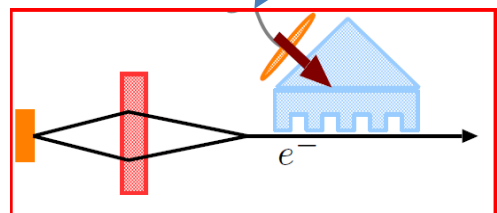
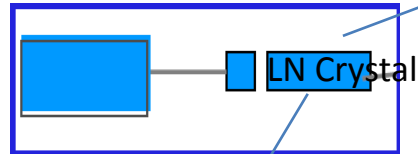
→ 38φ Yb:YAG Disk
+ 10kW x 8

Novel Accelerator / THz-DLA

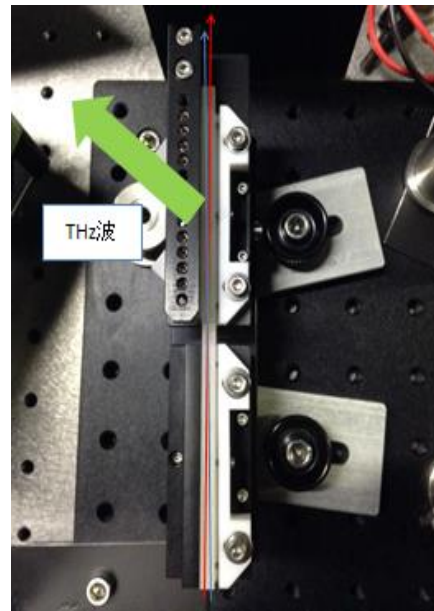
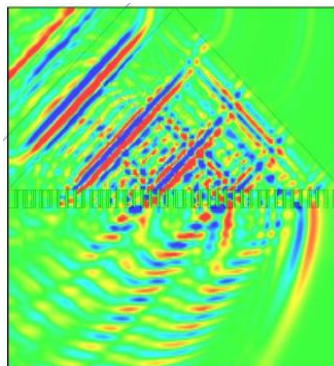
Direct Laser / THz acceleration

- Direct Laser Acceleration
 - Test Structure is fabricated in NIMS process
- Direct THz Acceleration
 - Same gradient at
10mJ (1.2THz) \Leftrightarrow 100J (12GHz)
 - High Intense THz is single cycle or a few cycle
→ Normal injection is ineffective
=> Prism Injection Schme

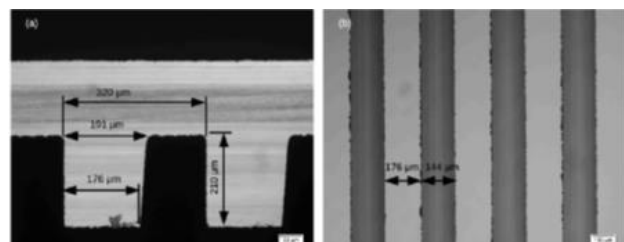
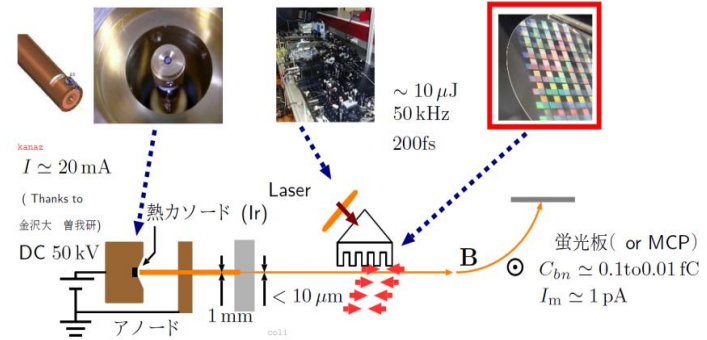
Microchip Parametric THz Laser



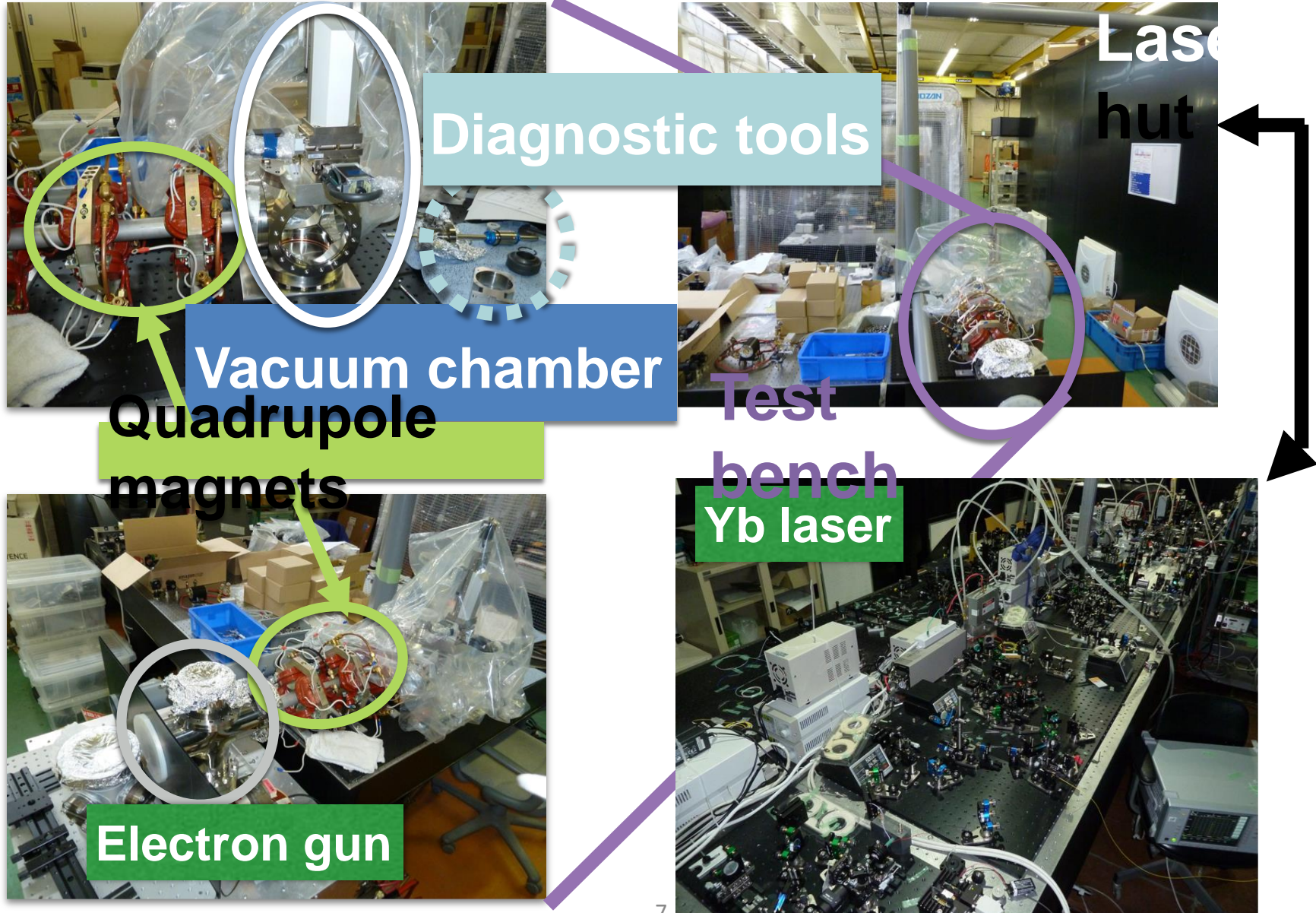
Grating : $(n-1)H = \frac{\lambda}{2}$



THz DLA structure



Test Bench for DLA



Alternative for Energy Frontier

- 電子
 - 円形加速器 : 輻射で限界?
 - いやまだ限界でない → 100 km の FCC
 - シンクロトロン放射のエネルギー回収 → ERR
 - リニアコライダー : 高電界 $L = V/E$ と効率
 - Nb超伝導(2K運転, < 40MV/m) → 高温超伝導 薄膜超伝導
 - 誘電体 : 誘電体フォトニック DLA(Laser, THz)
 - 周波数重畠
 - プラズマ加速
 - レーザープラズマアフターバーナー
 - 陽子ビームプラズマ ← J-PARC の Energy Frontier への転用の可能性
- 陽子 : 輻射が無い
 - 強磁場 $p(\text{GeV}/c)=0.3$ $B(\text{T})$ $\rho(\text{m})$ LHC $7\text{TeV}=0.3 \times 8.4\text{T} \times 2804\text{m} \rightarrow \text{HE-LHC}$
 - スーパーフェリック
 - Crystal Accelerator
- ミュオン : 輻射が無いが冷却が問題
 - MICE(FERMI)
 - Ultra Slow Muon : μ^+ のみ → μ^+e^- collider
 - 45 GeV e⁺